

ネットワーク科学とその数理 -現実のネットワークに潜む共通性-

林 幸雄

yhayashi@jaist.ac.jp

北陸先端科学技術大学院大学

1. Introduction

日々の生活や経済活動, 物流や通信手段, 我々自身の体内メカニズムに至るまで, どれも複雑なネットワークの上で成り立っている。

例えば,

- 人や企業間の関係: 口コミ効果, 連鎖倒産
- 自律分散システム: インターネット, 移動体通信
- バイオ技術: 分子モータ, 遺伝子治療薬

全く異なる対象や構成要素であるが…

⇒ 新発見はまさに世紀末に起こった!!

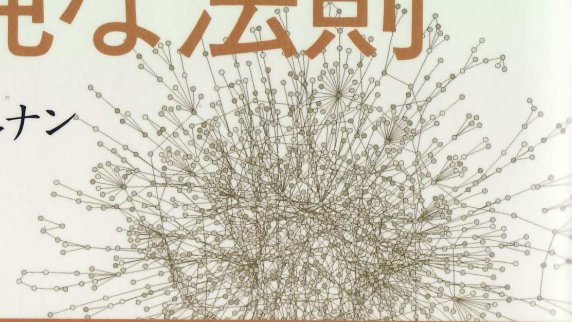
Best Business Books '02

複雑な世界、 単純な法則

NEXUS: Small Worlds and the Groundbreaking Science of Networks

ネットワーク科学の最前線

マーク・ブキャナン 阪本芳久=訳



エイズの蔓延から貧富の格差まで、この発見が数々の難問を解き明かす！

脳細胞、インターネット、
食物連鎖、人間社会……。
どれも同じ法則に従って、
つながっていた！

草思社

LINKED: The New Science of Networks

新ネットワーク思考 ～世界のしくみを読み解く～

アルバート=ラズロ・バラバシ[著]

Albert-László Barabási

青木 薫[訳]

Translated by Kaoru Aoki

すべてはリンクしている。

インターネットの弱点、

エイズの急速な広がり、

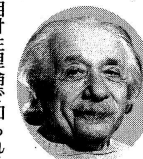
すべてを説明するルールがあった

マイクロソフトのひとり勝ち、アルカイダの組織など、

ついに複雑系の姿をとらえた話題の書！

Media Reports

The image is a promotional graphic for a television program. At the top left, the title "スモールワールド" is displayed in large, bold, white letters. To its right, the broadcast information "12月29日(木) 24:55~26:25" is shown. The background features a stylized globe with a grid pattern, set against a dark blue sky with white clouds. In the center, there is a white, three-dimensional graphic of the words "SMALL WORLD". Below this graphic, a man and a woman are smiling; the woman is on the left, wearing a black top, and the man is on the right, wearing a light-colored sweater. To the right of the couple, the text "「世間は狭い」" is written in large, white, sans-serif font. Below this text, a box contains a block of Japanese text. Further down, another box contains the text "出演: 無作為に選ばれ". On the far right edge of the image, there is vertical text in Japanese and English, including "2005年11月29日(木) 24:55~26:25", "読書新聞", and "www.smile-world.jp".



14500通
筆まめ天才科学者

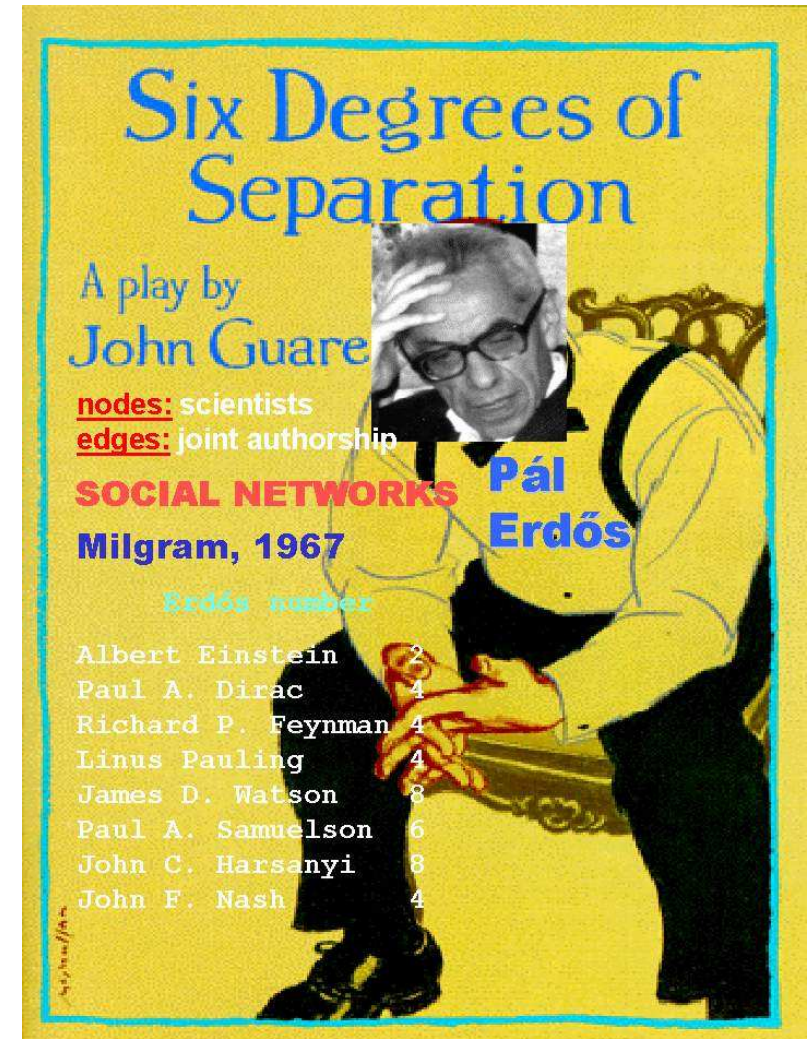
2. It's a Small World

小さな世界

- 6人の知人, S.Milgram,
Psychology Today 1, 1967.
- WWW は 19 クリック
 $d = 0.35 + 2 \log_{10} N$,
R.Albert et al., Nature 401, 1999.

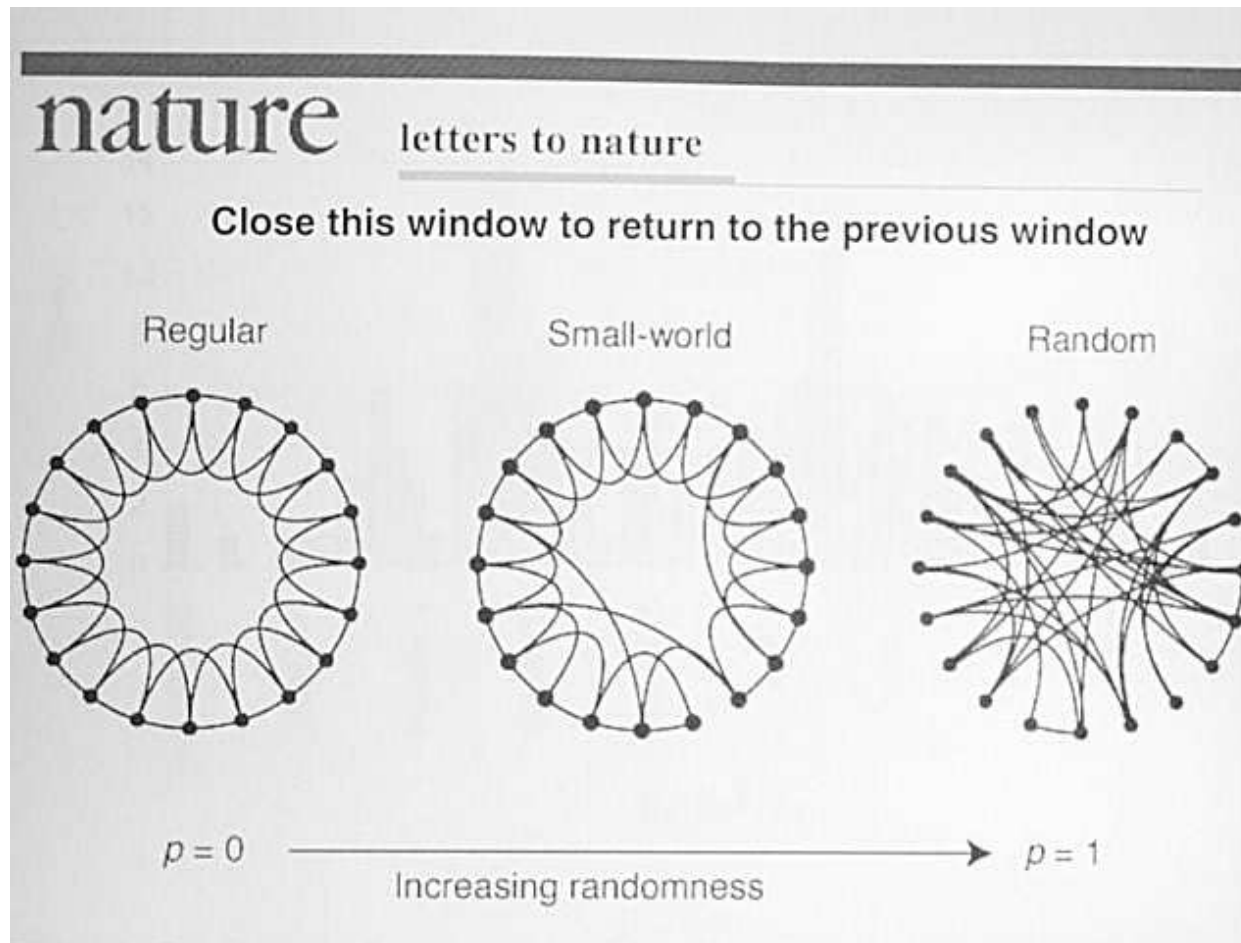
社会関係, 人工物, 自然界など, 全く異なる対象や要素のネットワークに共通の性質がある!

むしろ例外: 階層的組織, 暮盤目の都市, 物質の結晶格子等



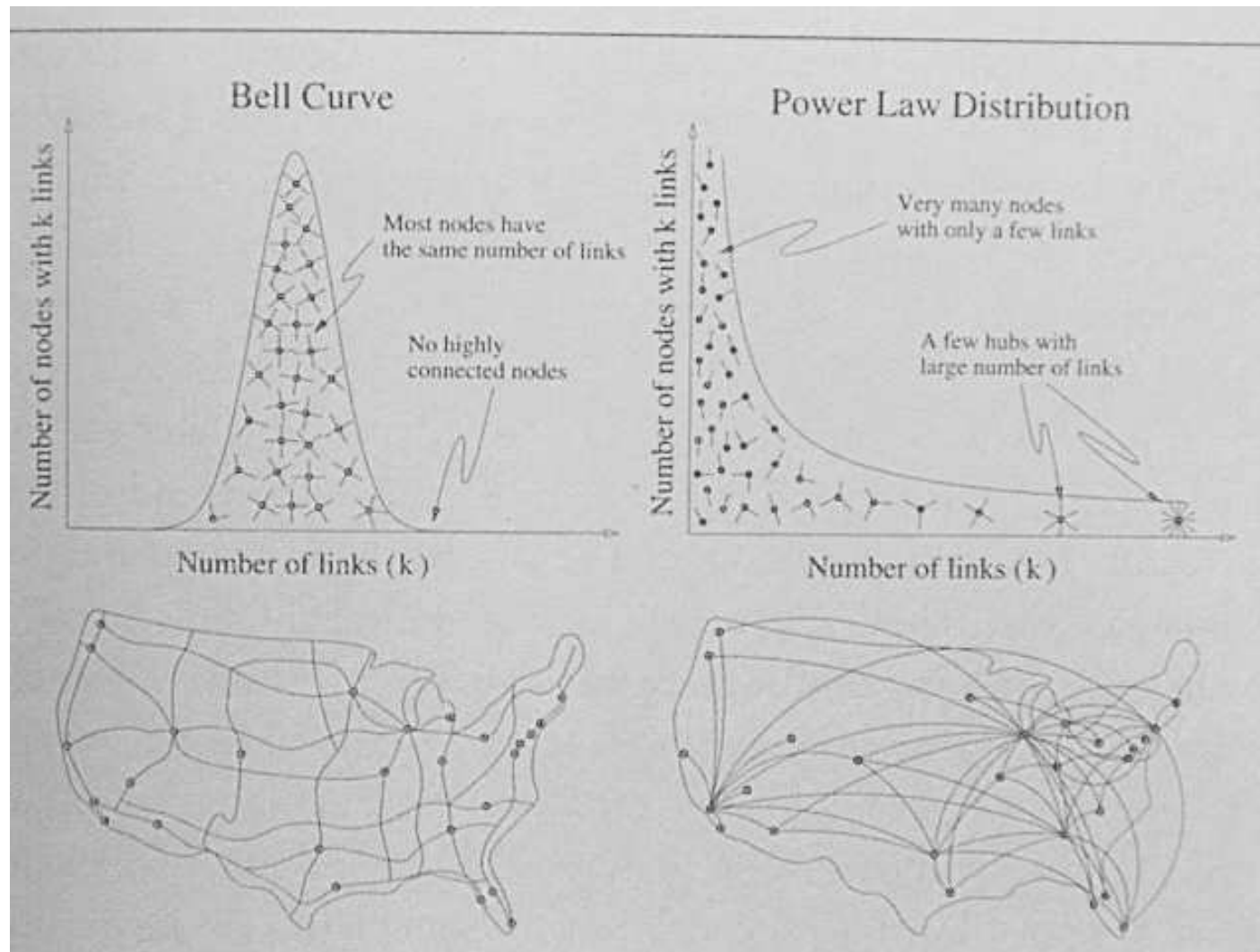
Small World Model

現実は規則的でも一樣ランダムでもない



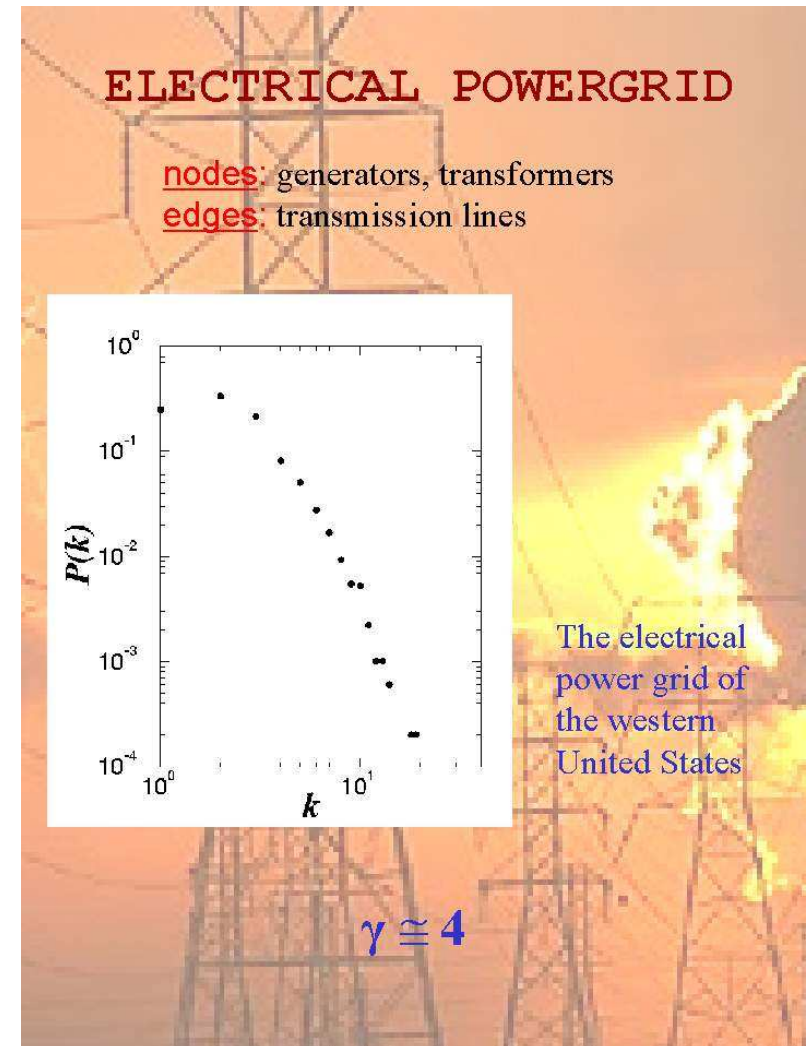
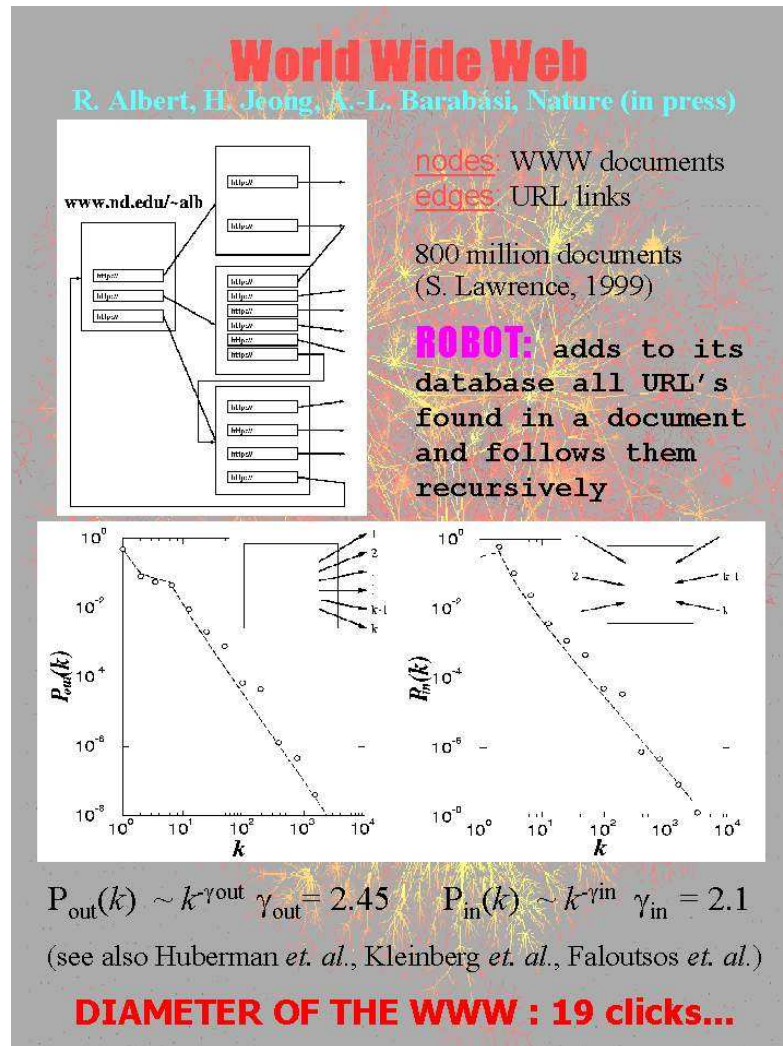
D.J. Watts and S.H. Strogatz, Nature, 393, 1998

Scale-Free: $P(k) \sim k^{-\gamma}$



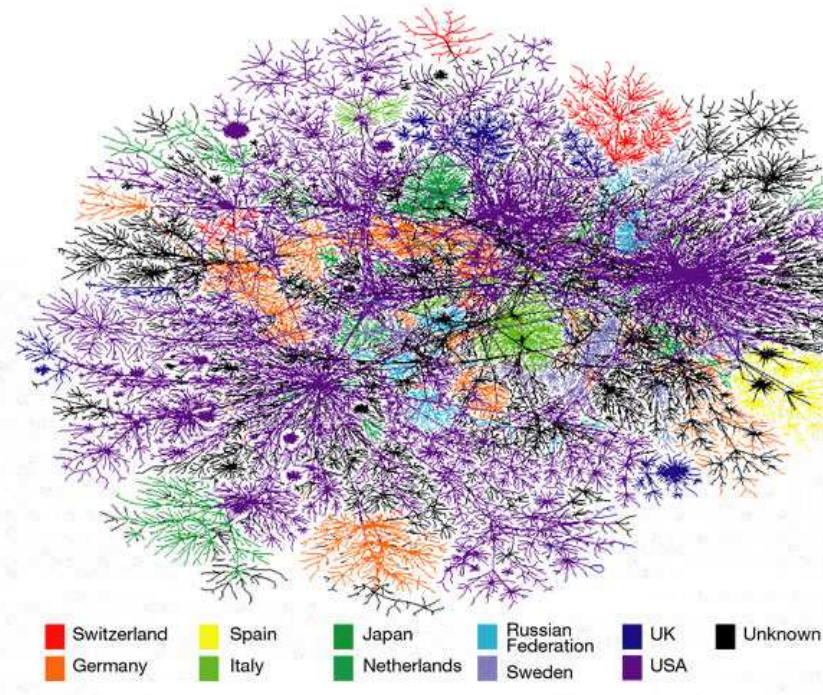
In A.L. Barabási, LINKED, Perseus Pub., 2002
⇒ ランダムグラフ理論では説明不可

Technological Nets (Infra.)

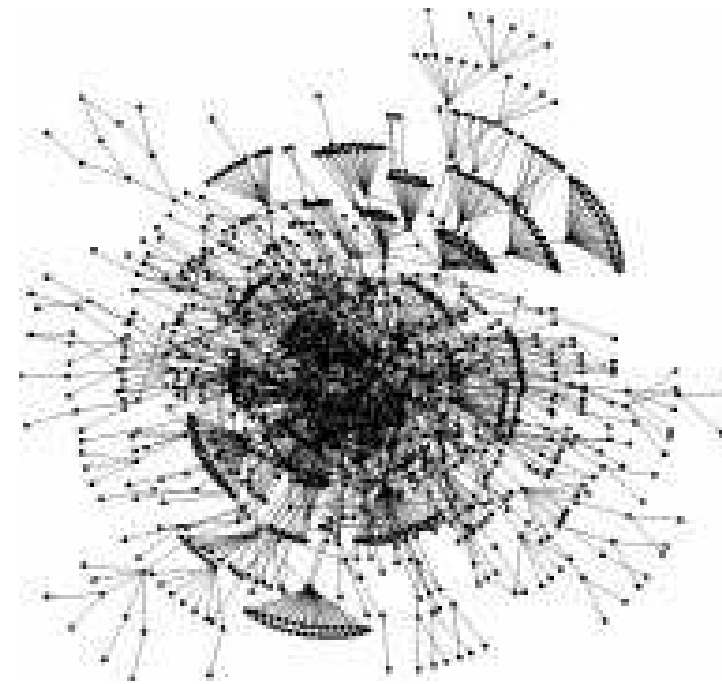


<http://www.nd.edu/~networks/ppt/SanDiego.ppt/>

Heterogeneous Structure

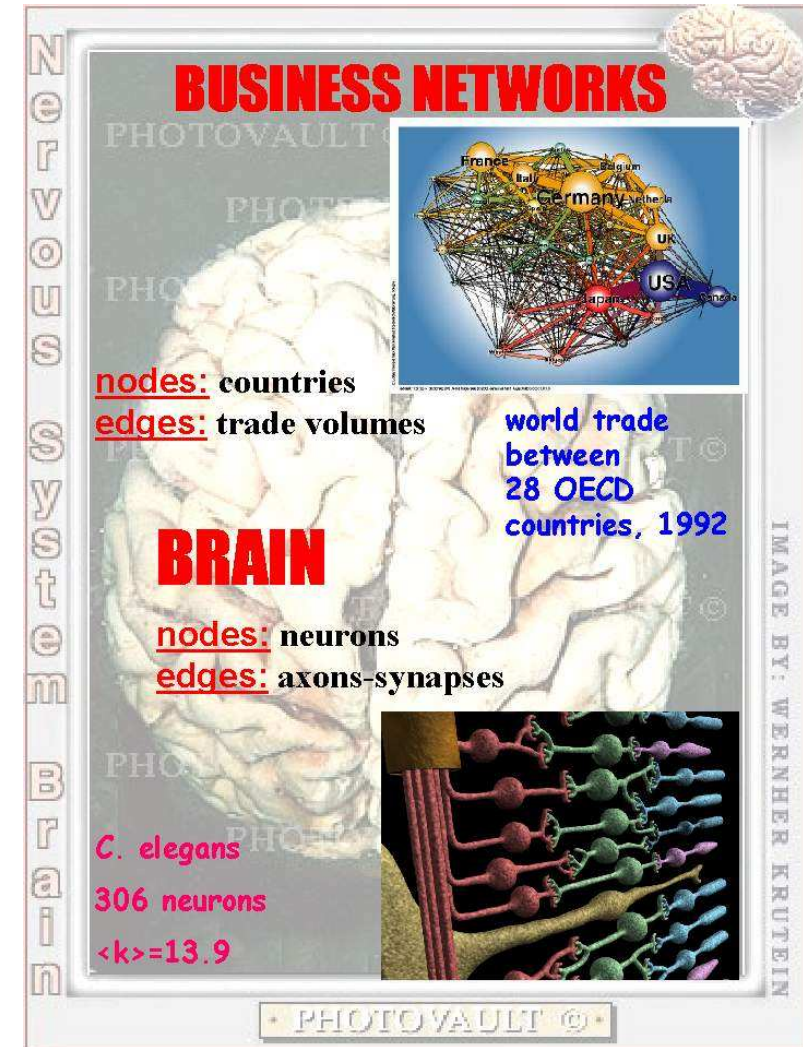
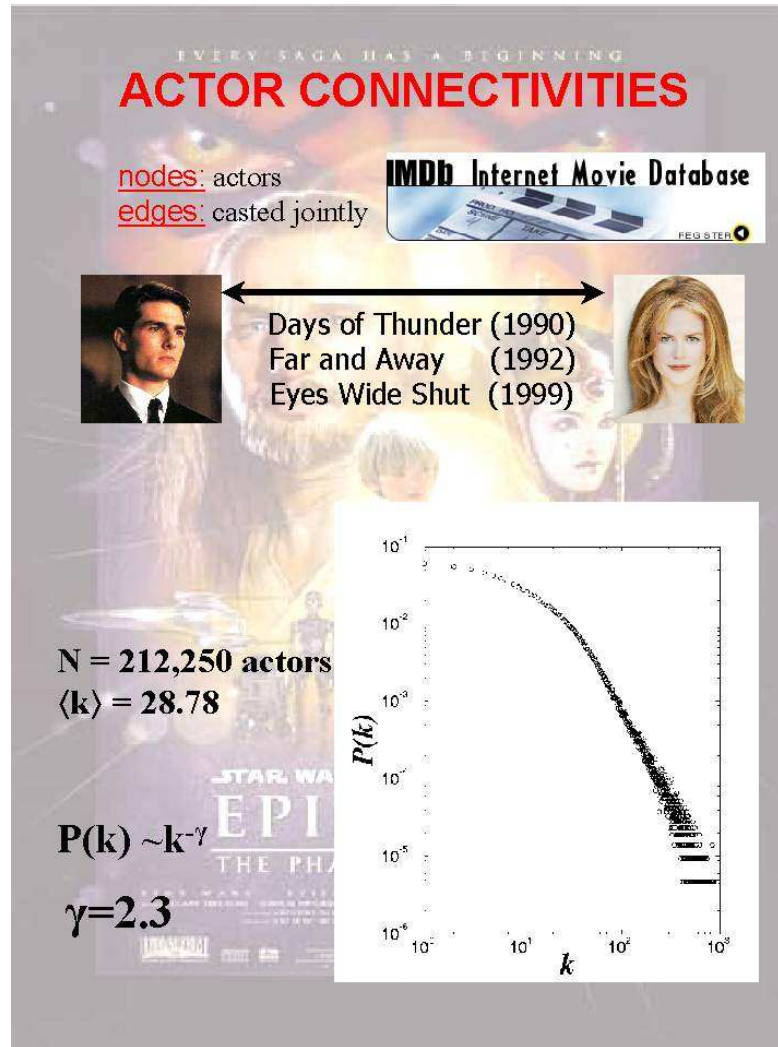


Internet connectivity with
selected backbone ISPs
Nature 406 (CAIDA)
2000



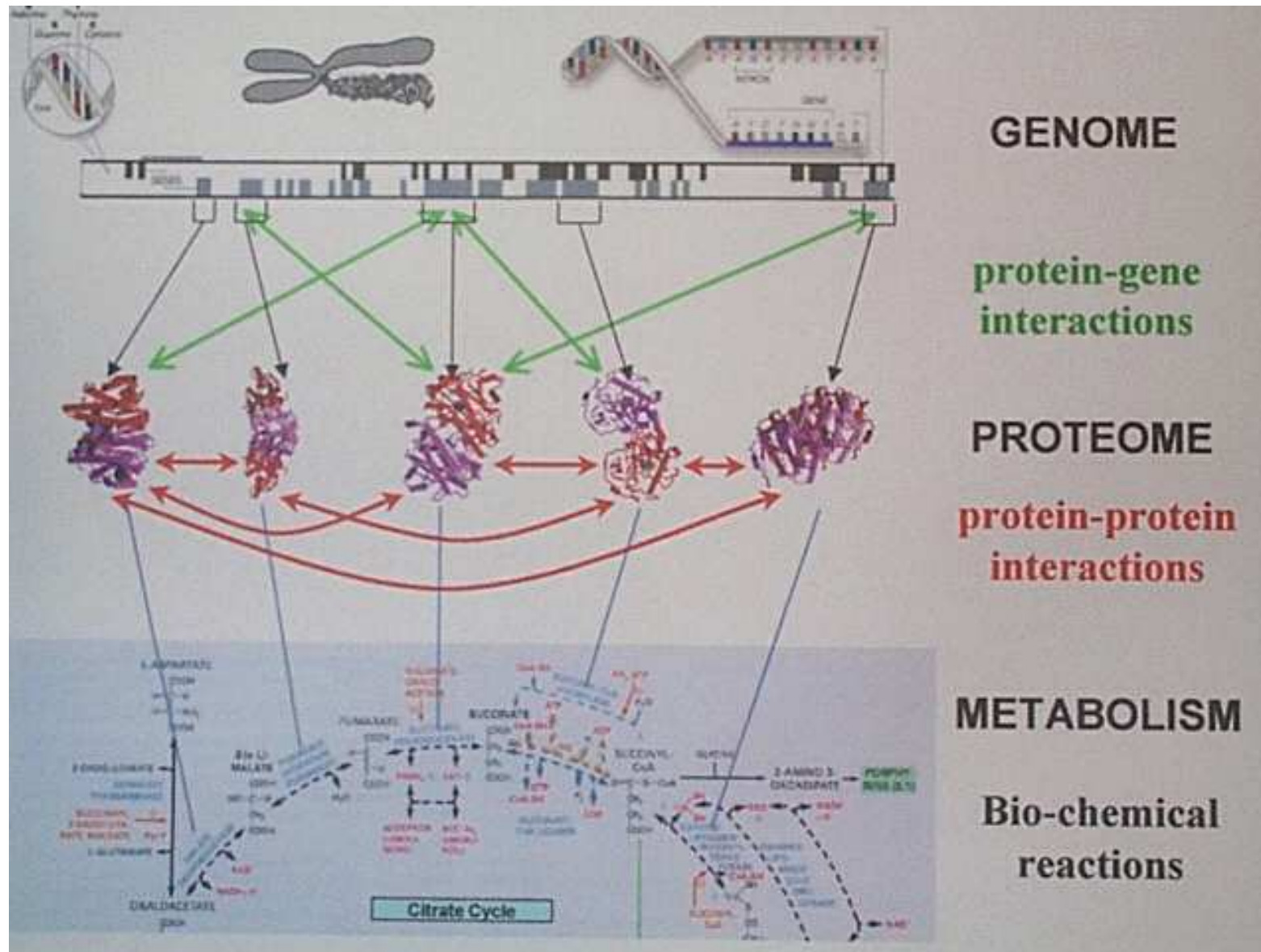
Java Class Components
(JDK1.2)
Europhysics Letters 2002

Social Nets

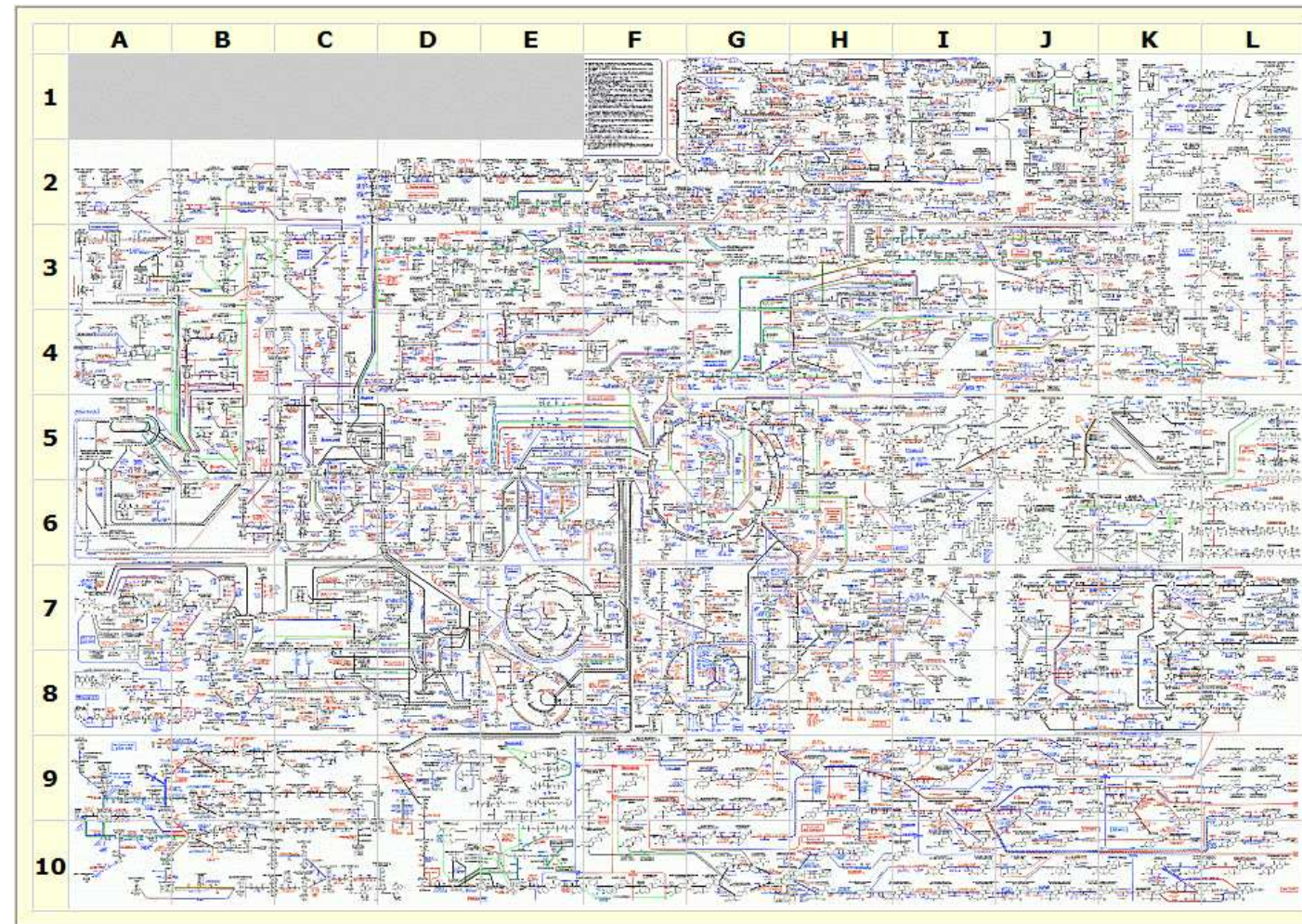


<http://www.nd.edu/~networks/ppt/SanDiego.ppt/>

Bio-Chemical Nets



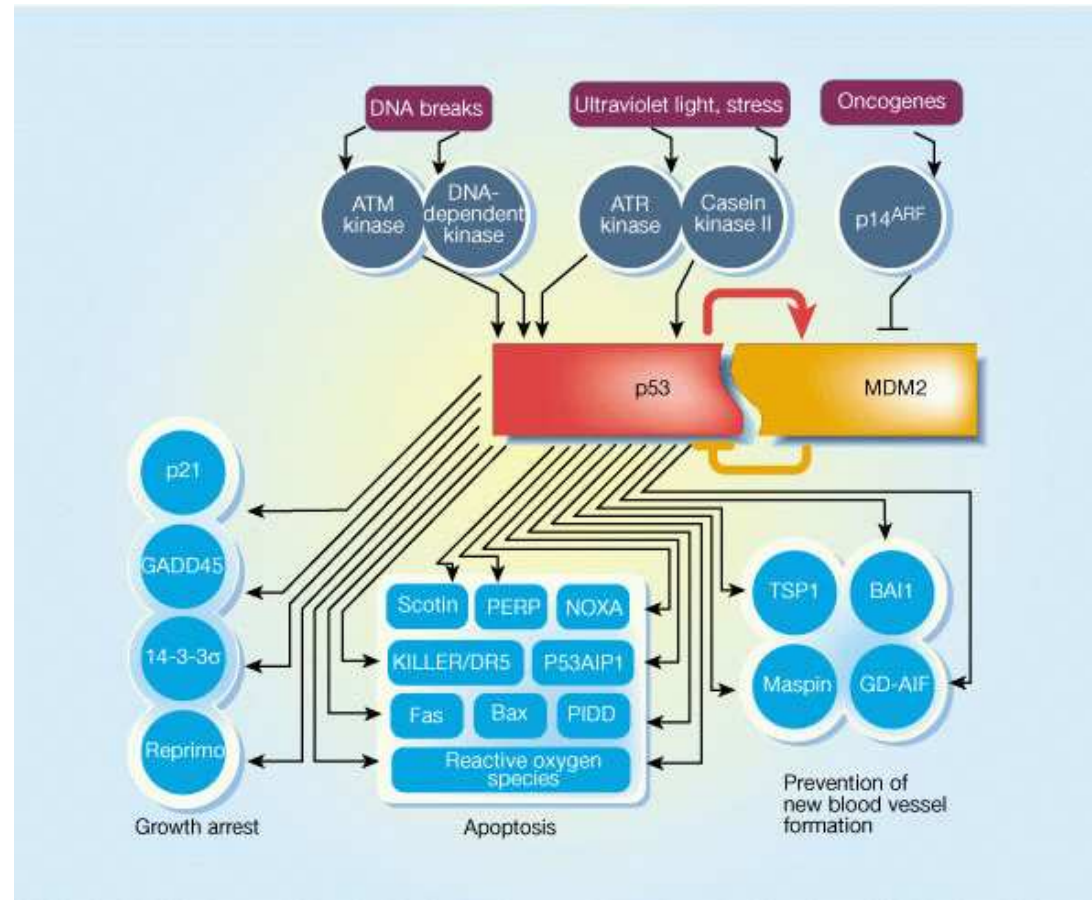
Metabolic Pathways



ATP(アデノシン三リン酸)がエネルギー代謝反応系のハブ

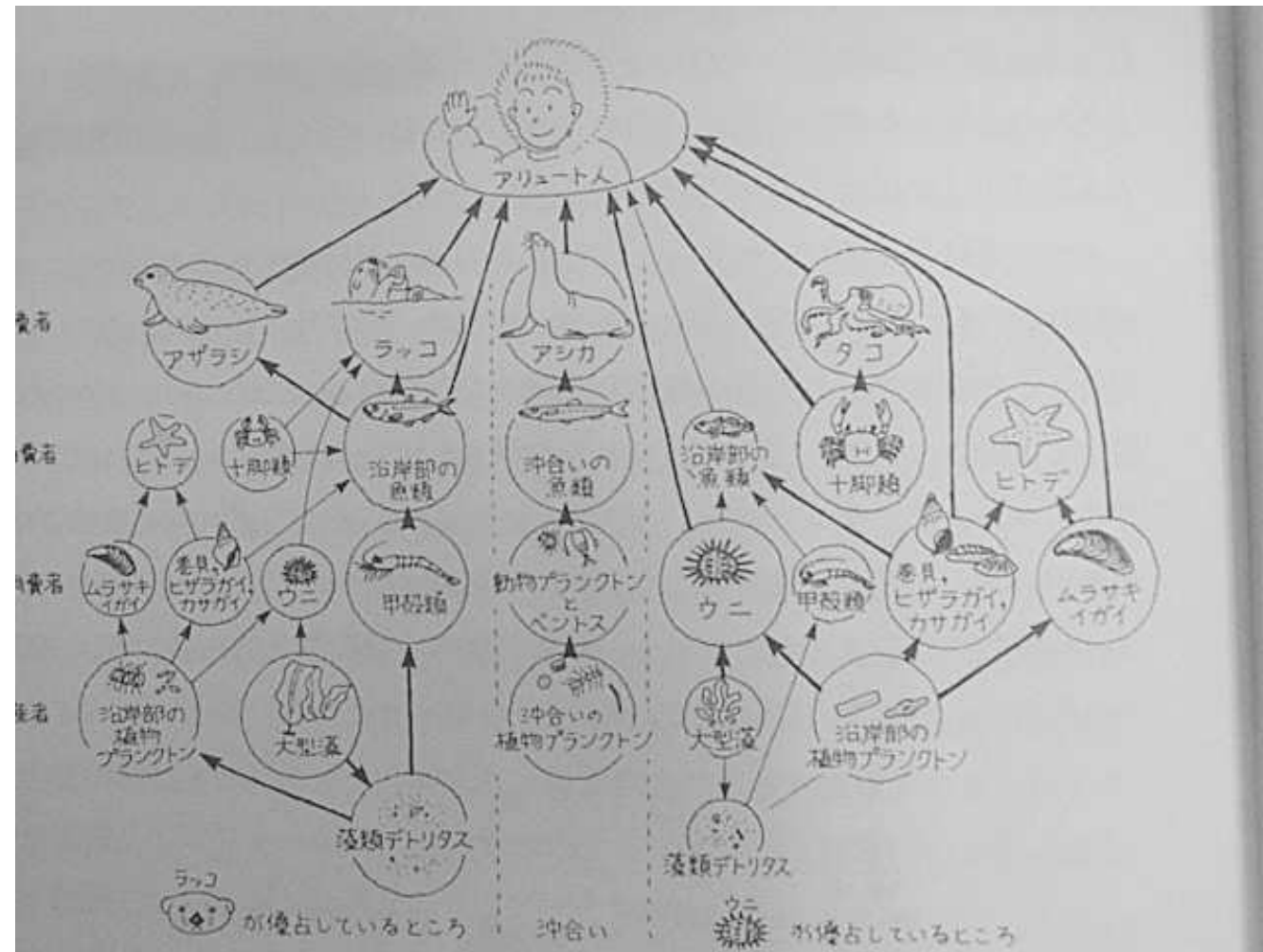
Surfing the p53 Network

癌発病に深く関与する p53 ハブ遺伝子 ⇒ 新薬の開発



K.W. Kohn, Mol.Bio.Cell 10, 1999 & B. Vogelstein et al., Nature

Food Web



松本著, 生態と環境 (C.A. Simenstand et al., Science 200, 1978.)

3. Universal Mechanisms

現実の複雑なネットワークに共通する SF 構造

インフラ技術: 航空路線, インターネット, WWW,
電力網, 電子回路網

社会関係: 企業間取引, 知人, 映画の共演, 論文引用,
性的接触, 電子メール送受信数, 言語

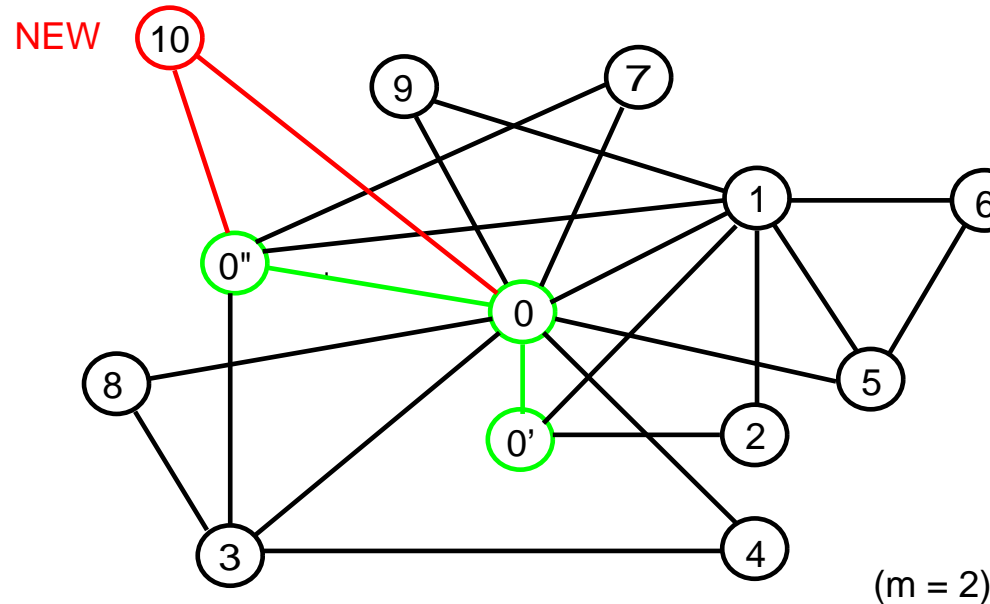
生物系: 神経回路網, 遺伝子や代謝反応, 食物連鎖

べき乗則 $P(k) \sim k^{-\gamma}$, $2 < \gamma < 3$ が普遍的に存在
→ 短い経路長, 友達の友達, ハブ攻撃への脆弱性 等

Rich-get-richer Rule

BA モデル: A.-L. Barabási and R. Albert, Physica A 272, 1999.

- N_0 個のノードが $m_0 < N_0$ 本でリンクされた初期構成から,
- 毎時刻 t に, 新ノードを追加し, 新ノードから既存ノード i に確率 $\Pi_i(t) \sim k_i(t)$ で m 本リンク.



Master Equation

$$\frac{\partial k_i}{\partial t} = m \times \frac{k_i}{\sum_j k_j} = \frac{k_i}{2t}$$

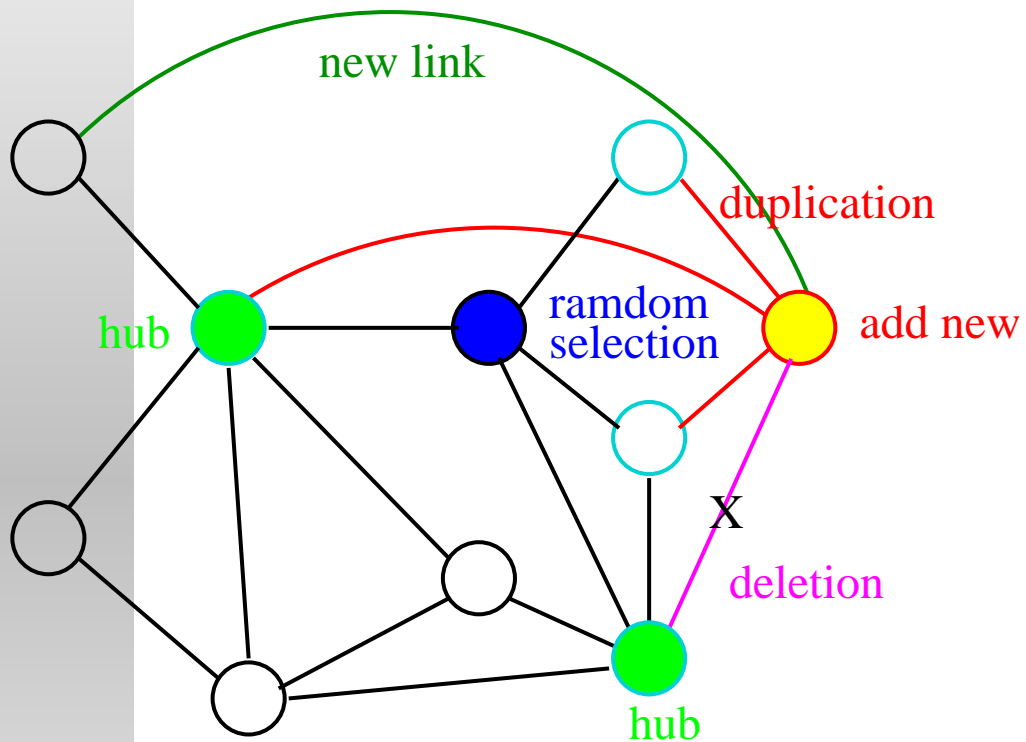
初期条件 $k_i(t_i) = m$ の解は, $k_i(t) = m \times \sqrt{t/t_i}$ となる.

$$P(k_i(t) < k) = P(t_i > \frac{m^2 t}{k^2}) = 1 - \frac{N_0 + m^2 t / k^2}{m_0 + t}$$

$$P(k) = \frac{\partial P(k_i(t) < k)}{\partial k} = \frac{2m^2 t}{m_0 + t} \frac{1}{k^3} \sim k^{-3}.$$

\Rightarrow age-effect (S.N. Dorogovtsev et al. PRL 85, 2000), rewire(R. Albert, PRL 85, 2000), fitness(G. Bianconi, PRL 86, 2001)

Duplication Model



ランダムに選ばれた頂
点に隣接するハブに
はリンク複写のチャン
ス大!

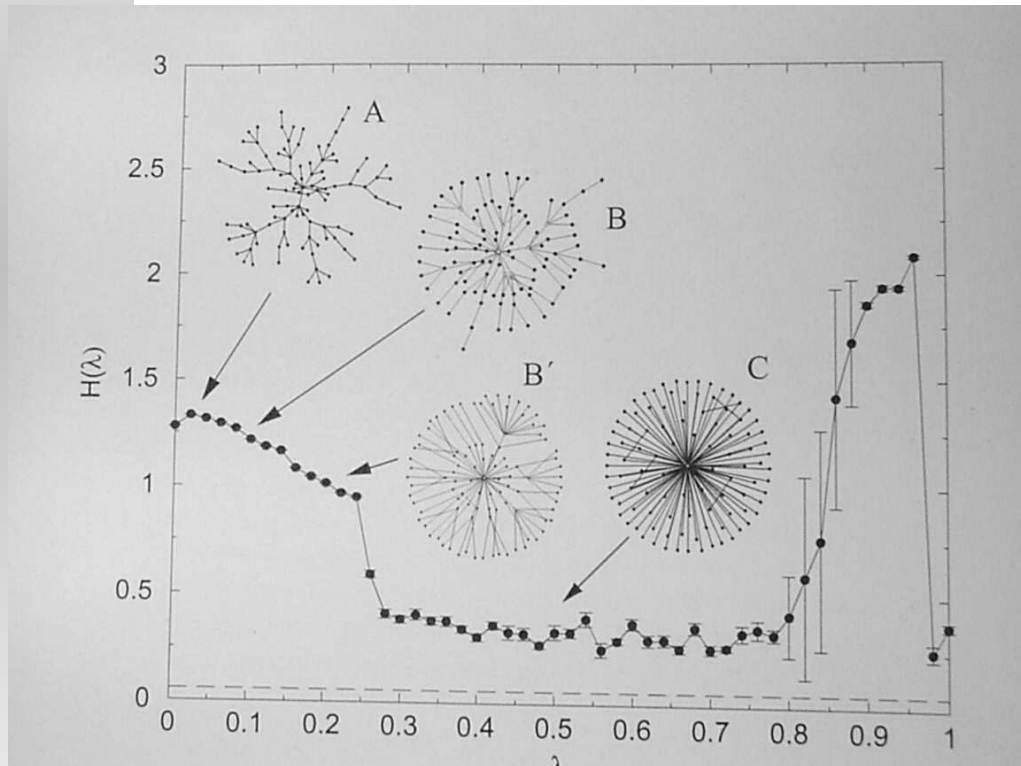
⇒ 生物は、選択不要のより単純な機構で、Pref.
Attach. を実現！

R.V. Solé et al., Advances in Complex Systems 5, 2002

Optimal Topology

経済性 : リンク数 $\leftarrow 0 < \lambda < 1 \rightarrow$ 通信効率 : 距離

Random (tree) - Pref. (SF) - Forced (star, clique)



$$\min E(\lambda) = \lambda d + (1 - \lambda)\rho,$$

$$\text{距離 } d \stackrel{\text{def}}{=} \frac{\sum_{i < j} D_{ij}}{nC_2} / D_{max},$$

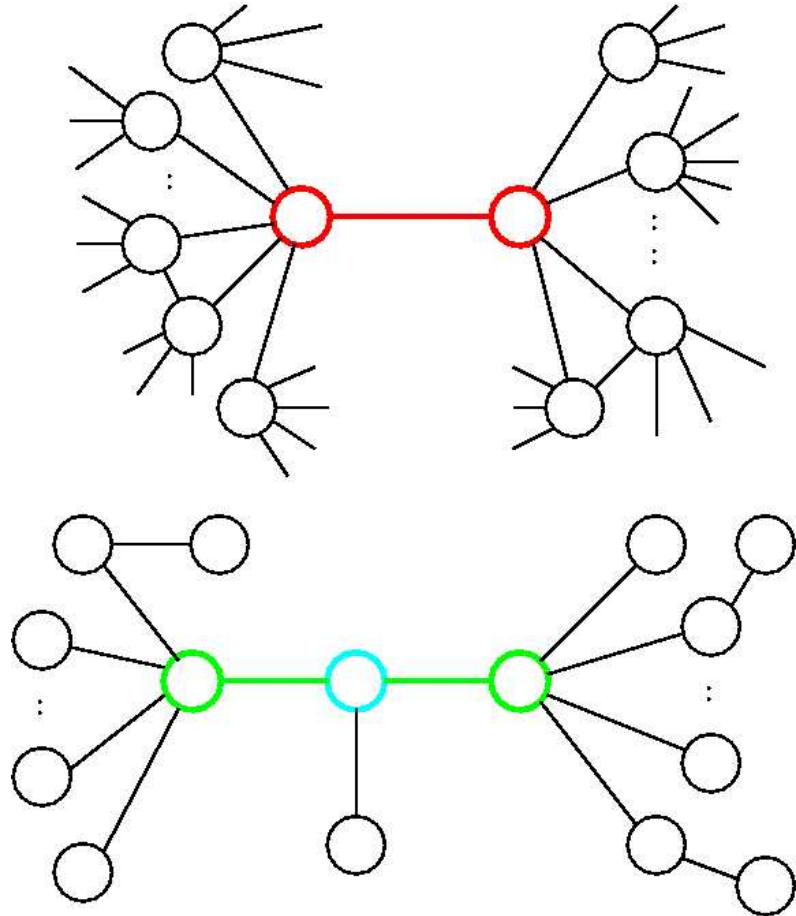
$$\text{リンク数 } \rho \stackrel{\text{def}}{=} \frac{\sum_{i < j} a_{ij}}{nC_2},$$

次数 k の頂点頻度 p_k の
エントロピーで評価

$$H \stackrel{\text{def}}{=} - \sum_{k=1}^{n-1} p_k \log p_k$$

R.F. i Cancho and R.V. Solé, SantaFe Inst. Working Paper 01-11-068, 2001

Connectivity Correlations



Assortative 結合 ハブ
同士など、同程度の
次数ノードが結合
しがちな傾向
社会システム

Disassortative 結合 ハブ
と低次数ノード
など、次数が異なる
ノードが結合しが
ちな傾向
技術・生物システム

結合傾向に依存した伝搬特性、長短所は？

M.E.J. Newman, PRL 89, 2002 & PRE 67, 2003

4. Robust, Yet Vulnerable

SF構造の性質

頑健性： ランダムなノード故障には強く連結性を保持

脆弱性： ハブの集中攻撃で極度に分断

⇒ 逆に、極度な分断性は、ウィルス拡散の防止には好都合！

Z. Dezsö and A.L. Barabási,
PRE 65, 055103, 2002, R. P.-
Satorras and A. Vespignani, PRE
65, 036104, 2002



Cite Percolation

占有率 q の $\forall P(k)$ における実効的な次数分布

$$\bar{P}(\bar{k}) = \sum_{k=\bar{k}}^{\infty} P(k)_k C_{\bar{k}} q^{\bar{k}} (1-q)^{k-\bar{k}}.$$

巨大連結成分が出来る条件式 $\frac{\langle \bar{k}^2 \rangle}{\langle \bar{k} \rangle} = 2$ より, 臨界値:

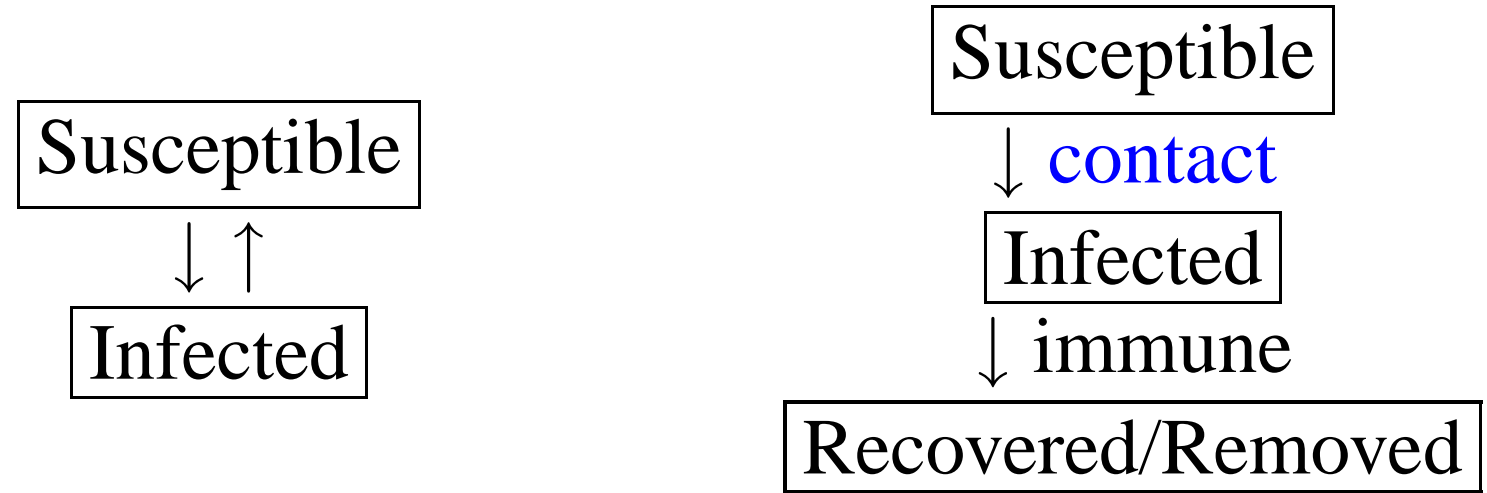
$$q_c = \frac{1}{\langle k^2 \rangle / \langle k \rangle - 1}.$$

現実の SF ネットでは, べき指数は $2 < \gamma < 3$ ので, $\langle k^2 \rangle = \sum k^2 P(k) \sim \sum k^{2-\gamma} \rightarrow \infty$, $q_c \rightarrow 0$: 強結合耐性 (不可避なウィルス拡散)

R.Cohen et al., PRL 85, 4626-4628, 2000.

Conventional SIS, SIR

感染流行モデルにおける各ノードの状態遷移



風土病：一定人口(出生死亡率)や一様な活動の仮定

⇒ 現代では、長距離の移動手段、局所的に集中する人々、人ごとに偏った接触機会

Absence of the Threshold

SF ネット上の SIS モデルにおける次数 k を持つノードの感染密度

$$\dot{\rho}_k(t) = -\rho_k(t) + \lambda k(1 - \rho_k(t))\Theta(t), \quad s_k(t) + \rho_k(t) = 1.$$

平均場近似 $\Theta \stackrel{\text{def}}{=} \sum_k \frac{kP(k)\rho_k}{\langle k \rangle}$ に, $\dot{\rho}_k = 0$ の平衡解 $\rho_k = \frac{\lambda k \Theta}{1 + \lambda k \Theta}$ を代入して $\Theta = f(\Theta)$ として表す.

条件 $\exists \rho_k \neq 0$ は, $\frac{df(\Theta)}{d\Theta}|_{\Theta=0} \geq 1$ と等価.

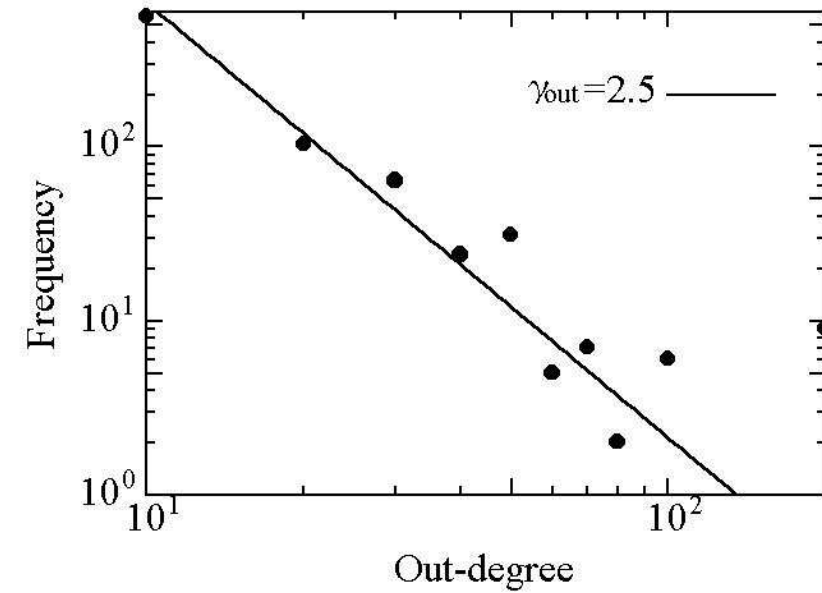
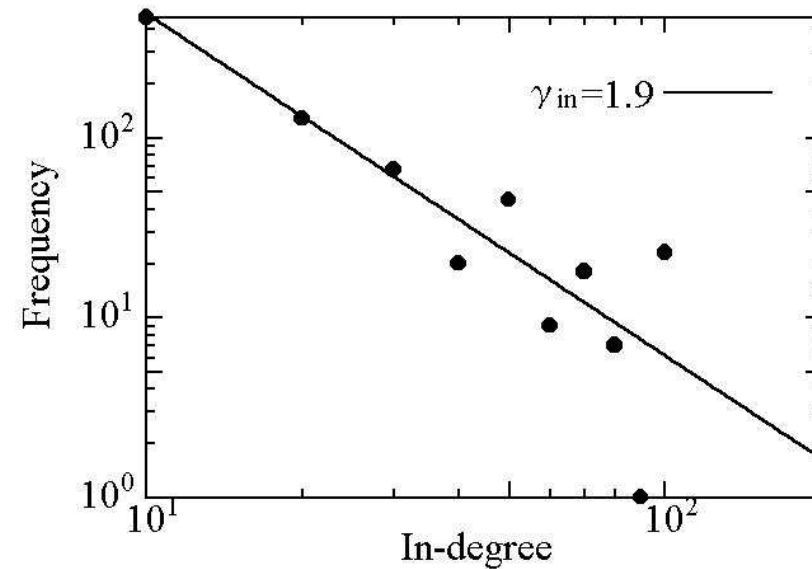
ゆえに, 感染流行のしきい値 λ_c は,

$$\lambda_c \leq \frac{\langle k \rangle}{\langle k^2 \rangle} \sim \frac{1}{\ln N} \rightarrow 0 \quad (N \rightarrow \infty).$$

R. P.-Satorras and A. Vespignani, PRE 63, 066117, 2001

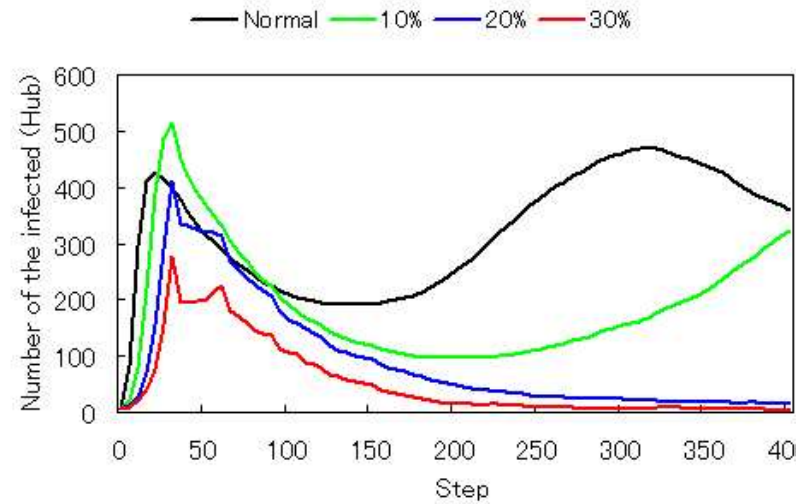
E-mail Data

現実の電子メールの送受信関係は SF ネットワーク
⇒ 従来の格子上あるいは一様ランダムな接触では
ない!

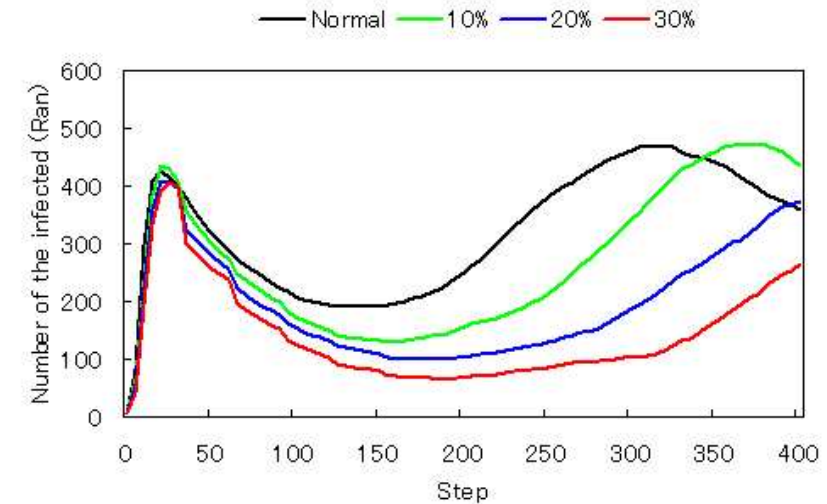


World Internet Projects 日本調査より (H12 10-11, 2555 人)

Effect of the Hub Immunization



ハブ免疫化



ランダム免疫化

確率的 SHIR 推移モデルで, 30 ステップ^o (1ヶ月に相当) ごとに, 成長した規模の 10, 20, 30 % の頂点を免疫化した場合の, 感染数の平均値.

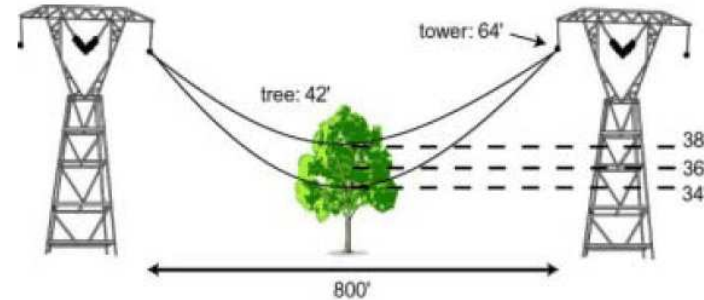
ハブ免疫率 30 % で絶滅!, ランダム免疫で再流行

林, 箕浦, 松久保, 情処論 Vol.44, SIG(TOM9), 2003, & Physical Review E 69, 016112, 2004.

Cascading Failure

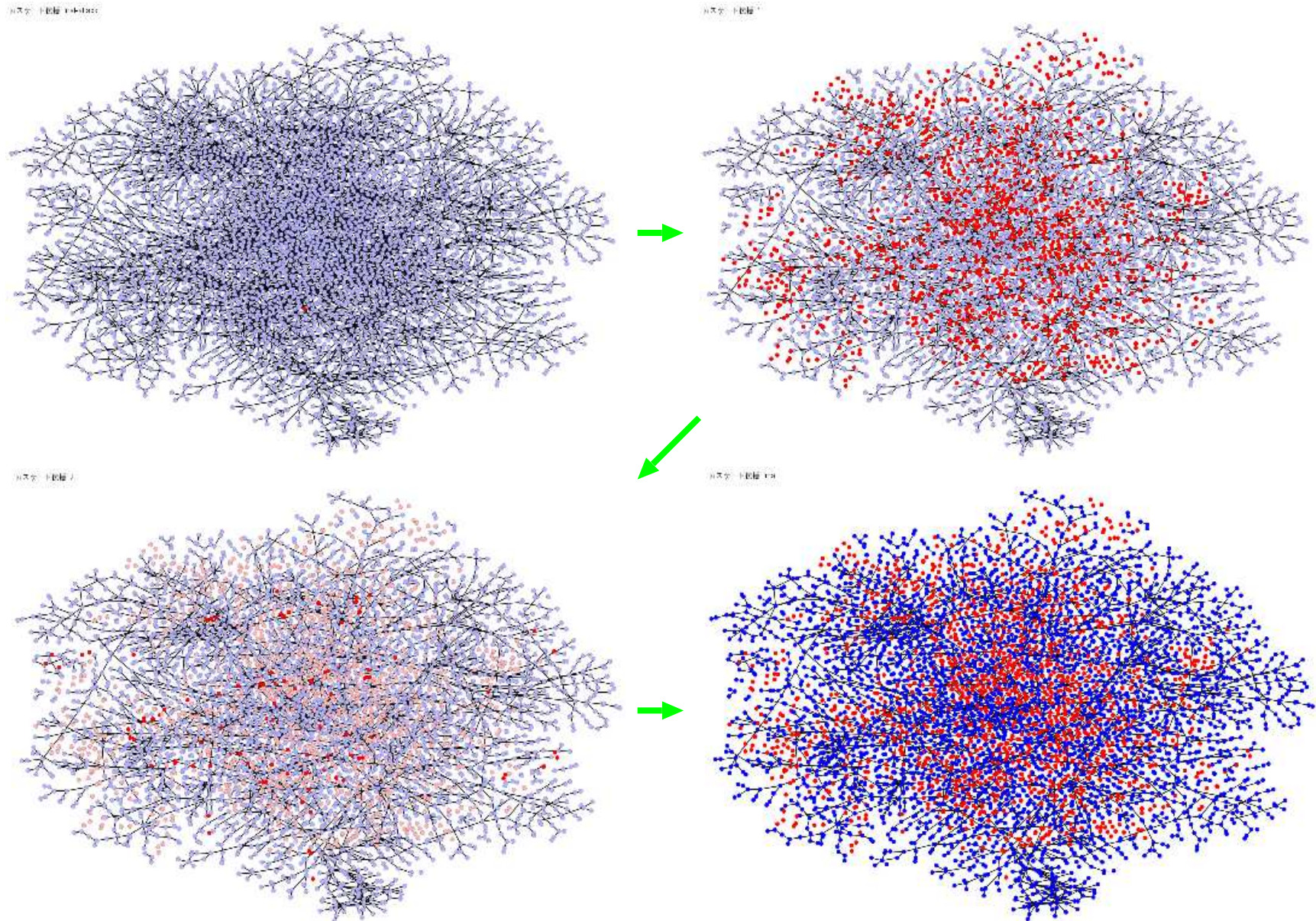
許容量を越えた被害伝搬

- 電力崩壊: 初期断線からの広域停電
- 道路やパケットの渋滞
- :



2003年8月14日北米北東部停電事故に関する調査報告書, 2004年3月北米北東部停電調査団 (NERC “August 14 2003 Blackout”), 及び, 北米東部大停電について, IEEJ 2003年8月.

Avalanche Dynamics



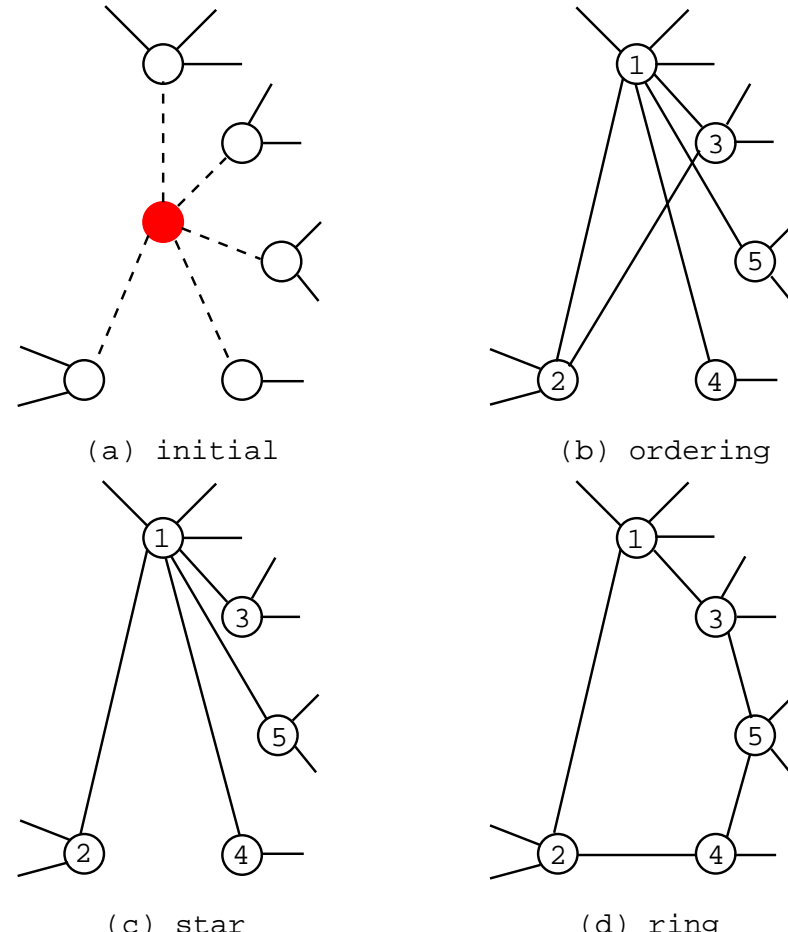
Defense Strategies

従来法: 中継量より発生量の方が多いノード順に割合 f だけ除去

A.E. Motter, PRL 93, 2004

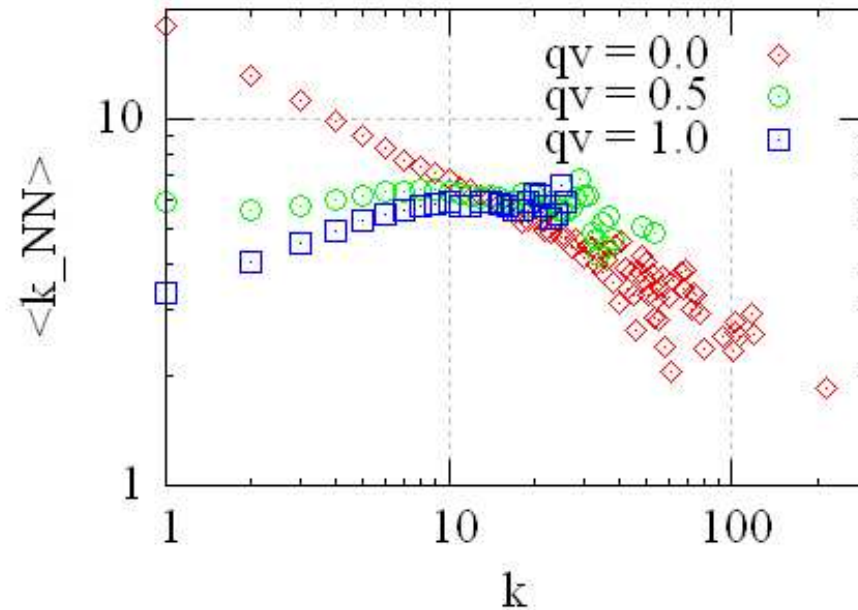
提案法: 初期故障源の周辺ノード間の, 次数 k_i や負荷量 $B_i(t)$ に従った局所的なリンク張替

各時刻で任意のノード間で通信要求が発生, 最短経路を通り, 各ノード i の容量は $\alpha \times B_i(0)$

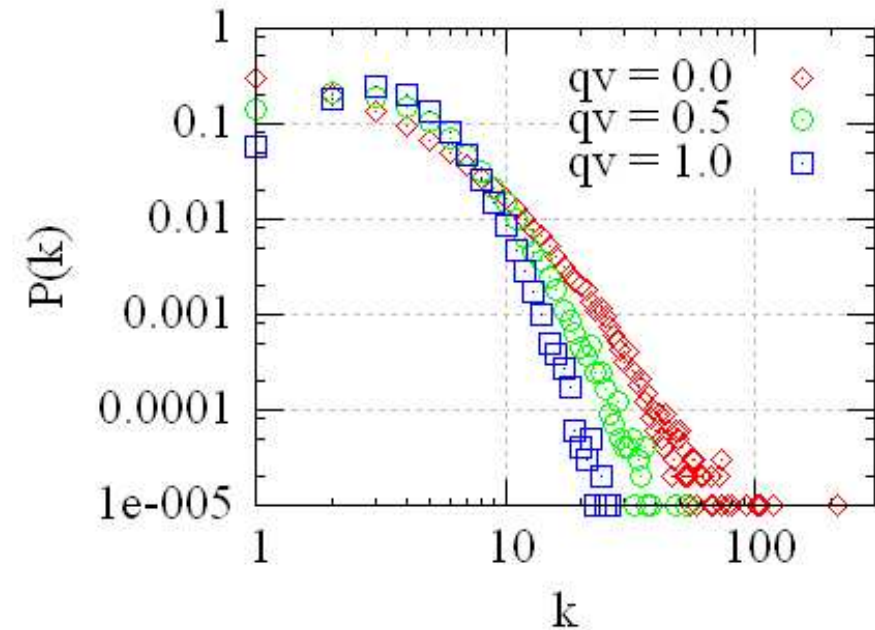


種々の張替方法

$\langle k_{NN} \rangle$ and $P(k)$ in CDD Model



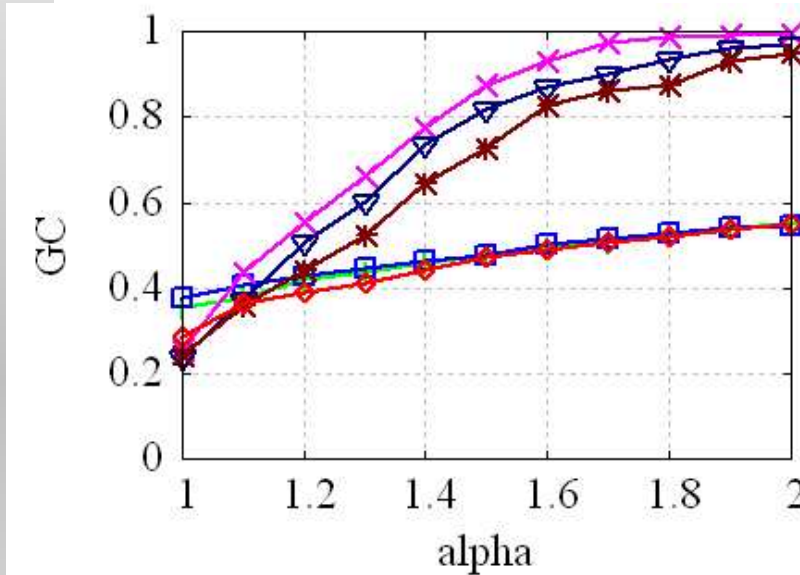
(a) Degree-degree correlation



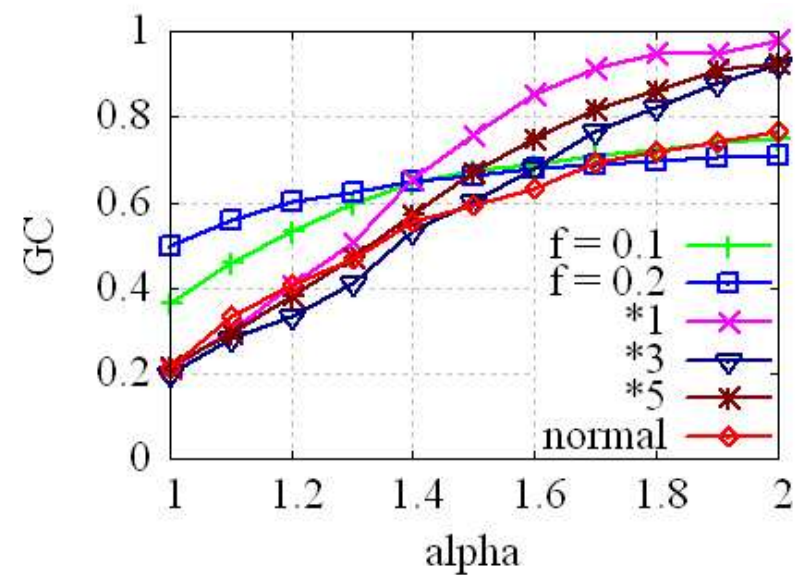
(b) Degree distribution

Simulation Results

CDD モデル ($\langle k \rangle \approx 4$) における GC のサイズ変化



正相関(Ass)

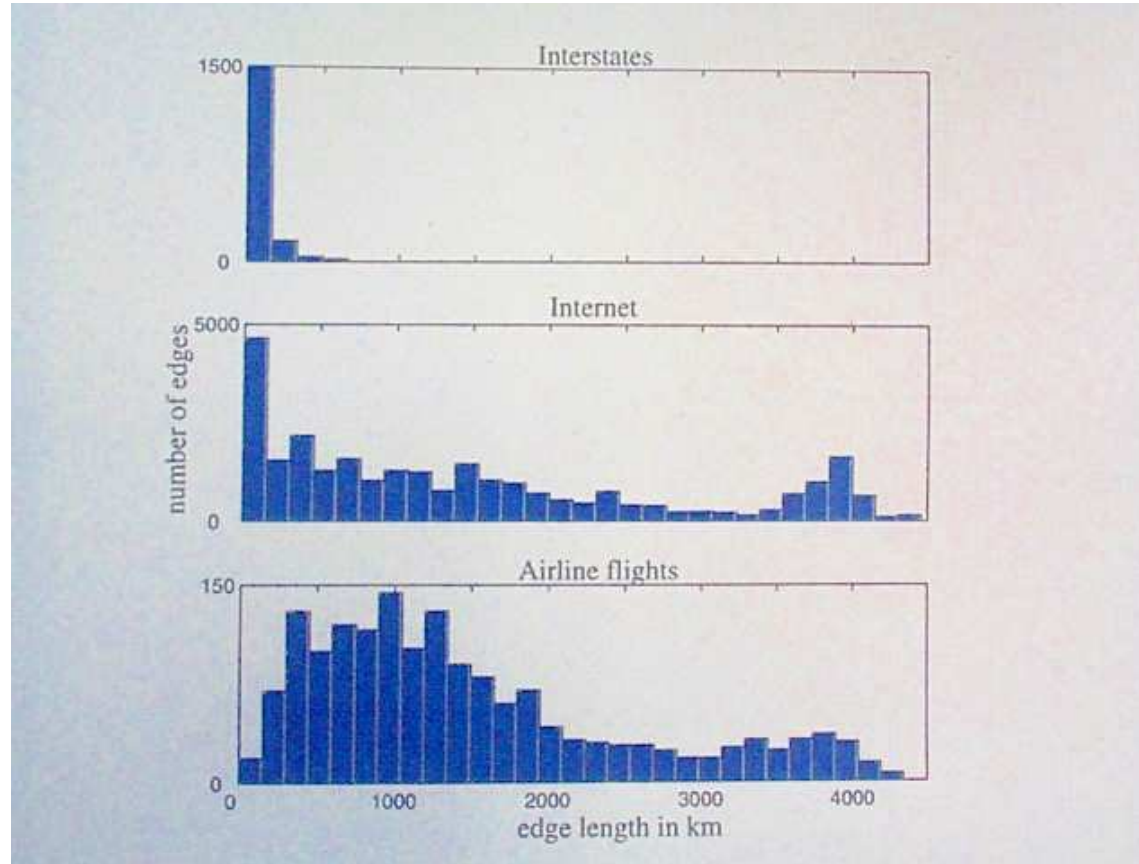


負相関(Dis)

◇ : 無防御, + : 従来法 $f = 0.1$, □: 従来法 $f = 0.2$,
×: 完全結合, ▽ : 和の順, * : リング化

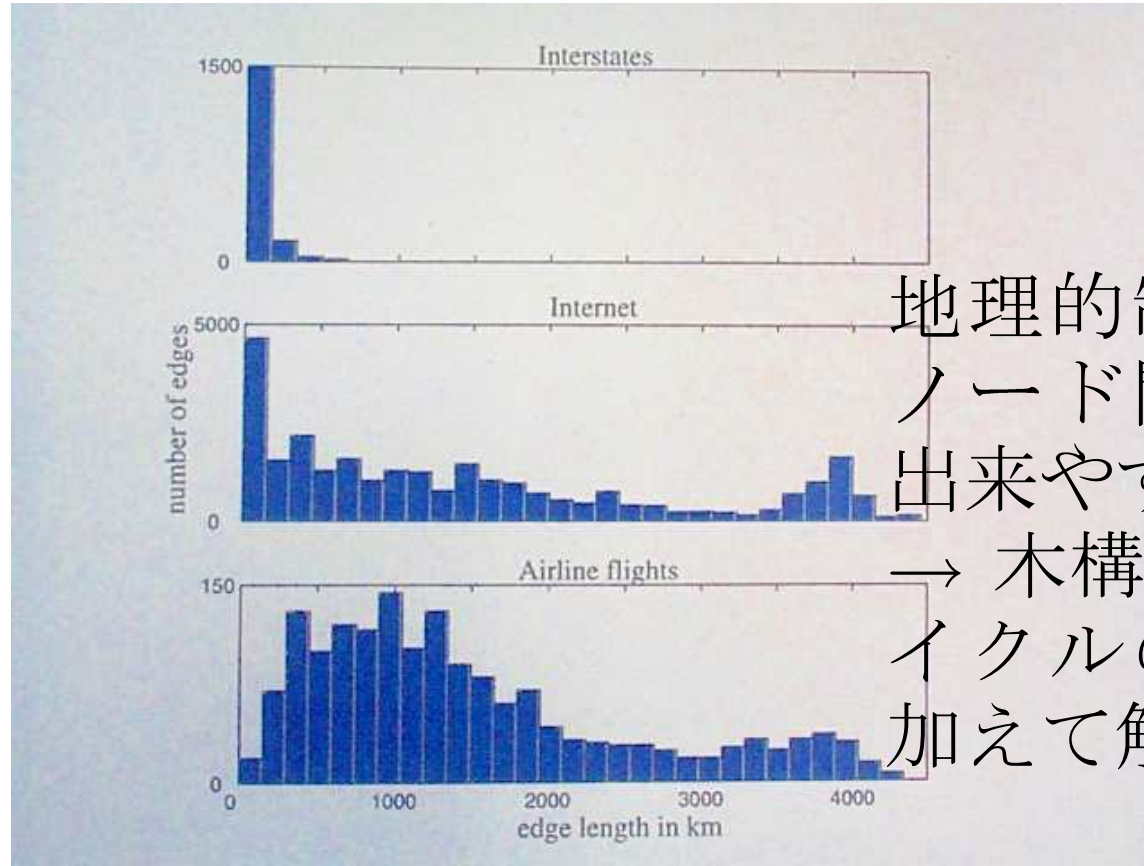
林, 宮崎, 情処論 Vol.47, No.3, 2006.

5. Geographical constraints



M.T.Gastner and M.E.J.Newman,
Euro.Phys. J. B 49(2), 2006.

5. Geographical constraints

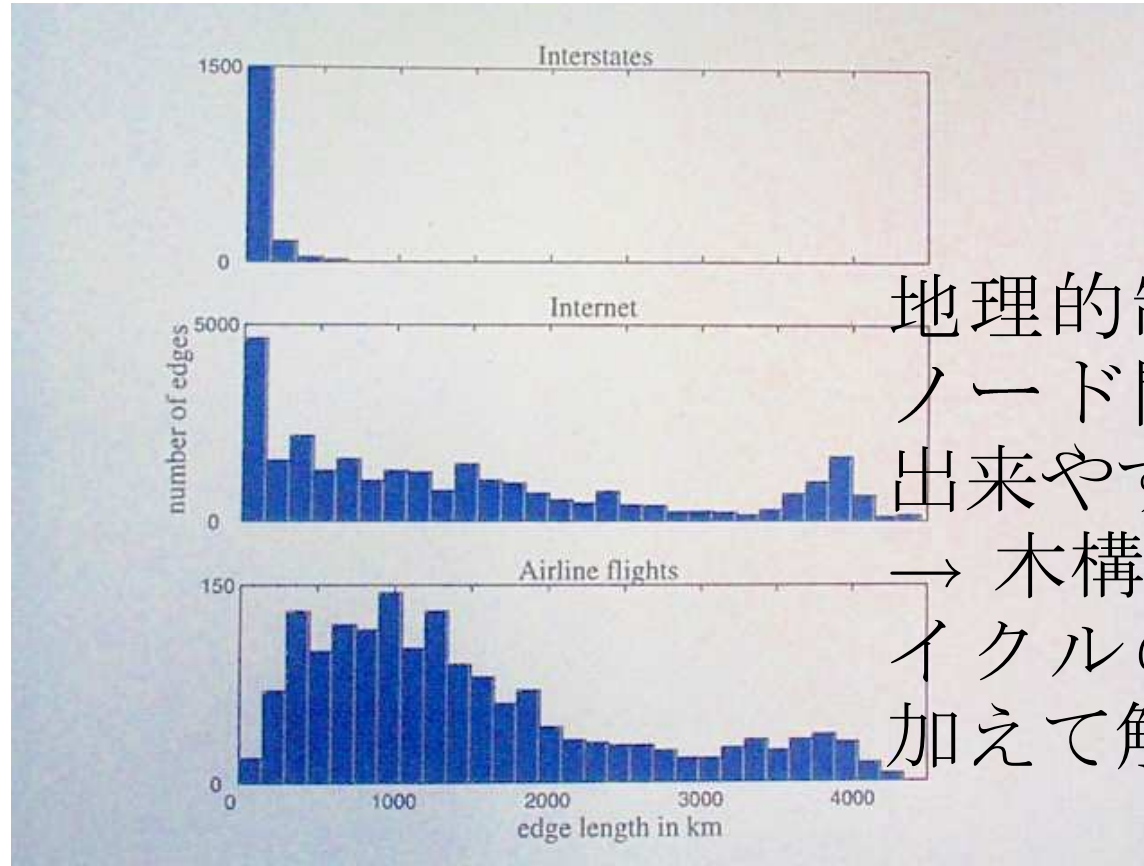


地理的制約により近接ノード間のサイクルが出来やすい

→木構造に長さ L のサイクルの独立な影響を加えて解析を拡張

M.T.Gastner and M.E.J.Newman,
Euro.Phys. J. B 49(2), 2006.

5. Geographical constraints



地理的制約により近接ノード間のサイクルが出来やすい

→木構造に長さ L のサイクルの独立な影響を加えて解析を拡張

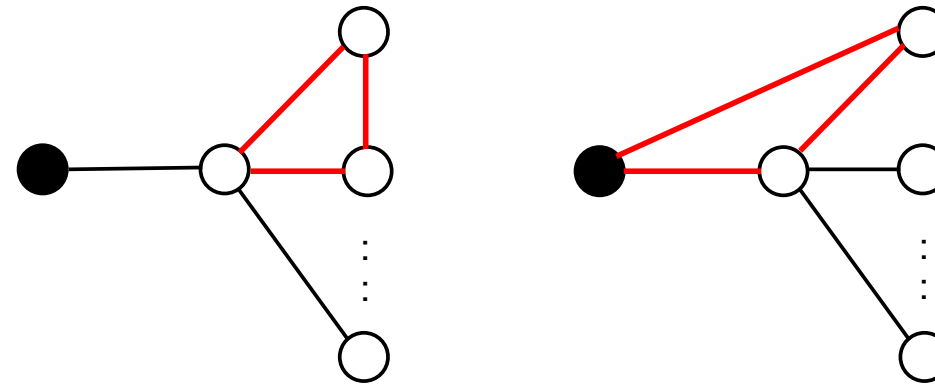
M.T.Gastner and M.E.J.Newman,
Euro.Phys. J. B 49(2), 2006.

$\forall P(k)$ において、短いサイクルの存在でより脆弱に！

Effect of Triangles

長さ3のサイクル（友達の友達の三角形）の影響

$$q_c^* = \frac{\langle k \rangle}{\langle k(k-1) \rangle - \left(1 - q_c^* \frac{\langle k(k-2) \rangle}{\langle k \rangle}\right) \langle C(k) \frac{(k-1)^2}{2} \rangle}$$

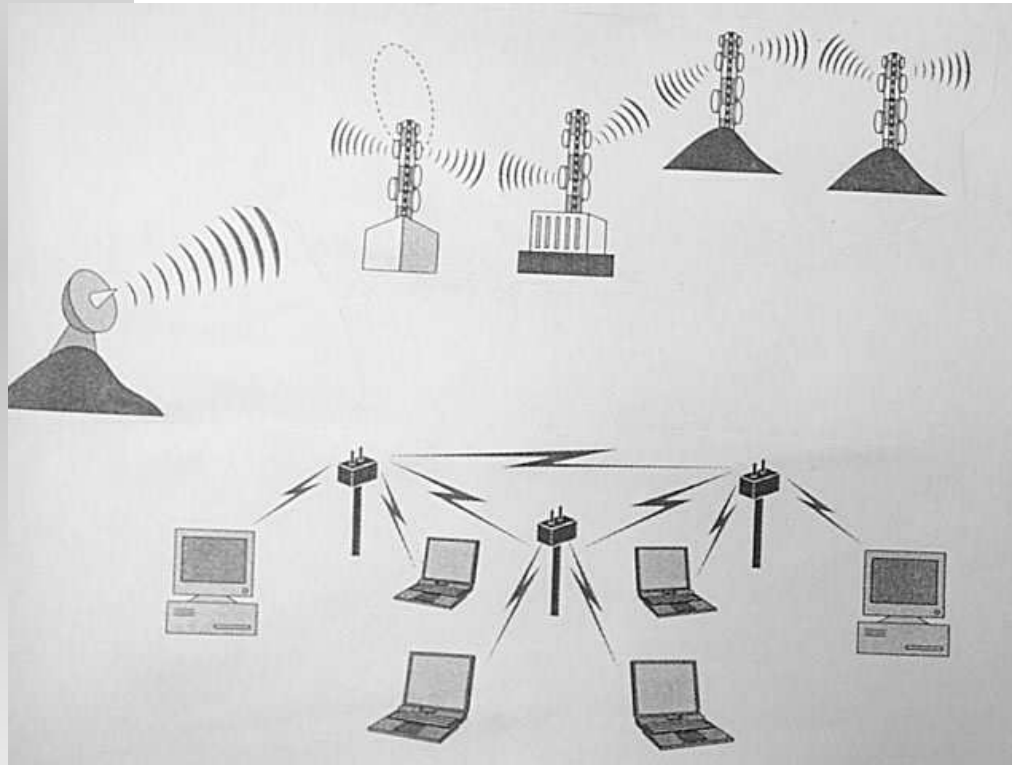


理論予測：分母がより小さくなつて $q_c^* > q_c$, 短い
サイクルの存在でランダム故障により脆弱！

L.Huang et al., Europhys.Lett. 72(1), 2005.

Wireless Communication

近未来のセンサシステム, P2P, アドホック通信などに適した動的なネットワーク構築



エネルギー消費 出来るだけ維持建設コストを抑え, リンク長を短く

電波干渉 地表を覆い, リンク交差がない

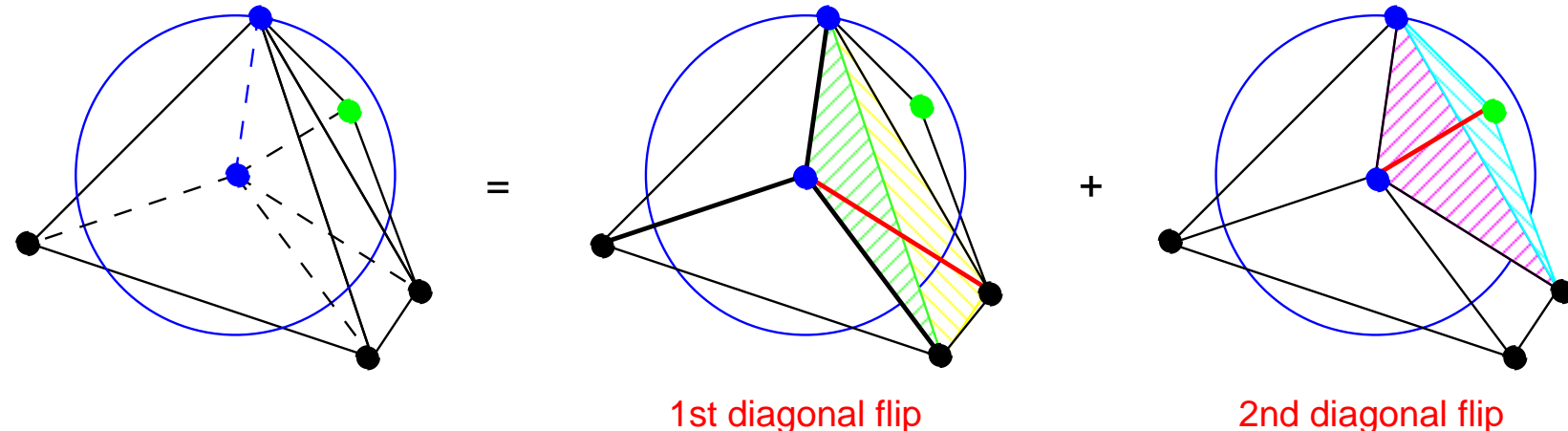
Geographical SF networks

三角分割されたある初期構成から反復的に成長

Random Apollonian: ランダム選択した三角形内に新ノードを挿入し, そこから各頂点に結合
(三角形の再分割)

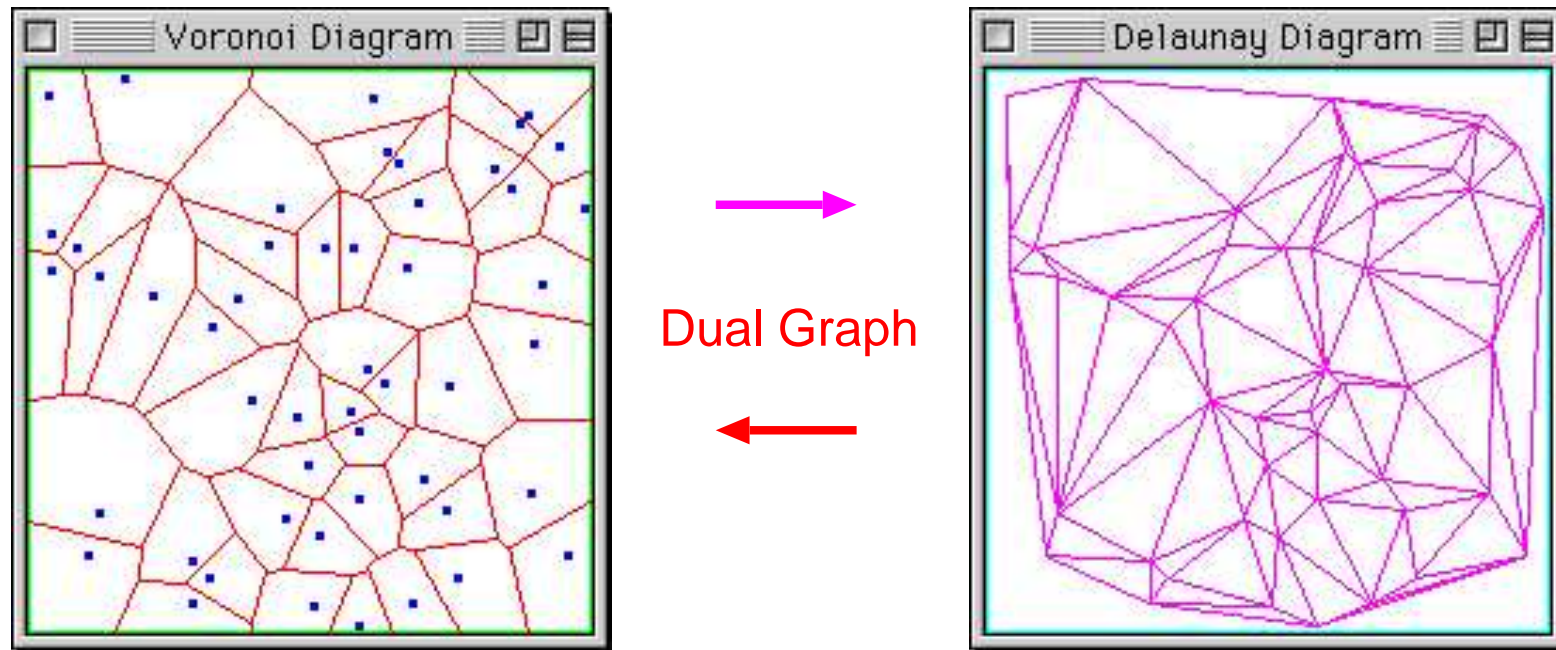
Delaunay-like SF: 新ノードを中心としたある範囲内で対角変形を施す (長距離リンクの抑制)

Delaunay Triangulation: 対角変形操作を全域で



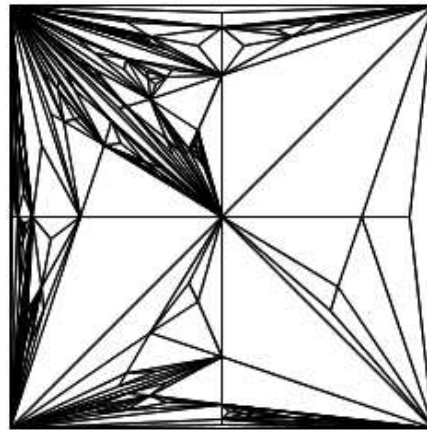
Voronoi and Delaunay

最も近い母点にアクセスするとした管轄領域

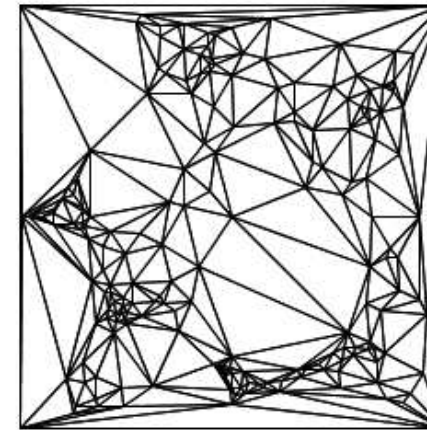


DT には幾何学的な良い性質：
最小角最大, 最小外接円, t-spanner など

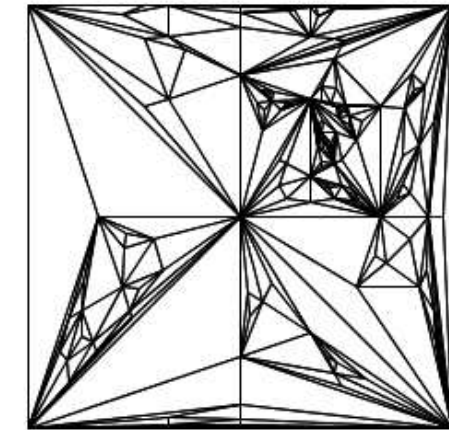
Topological Structure



RA



DT

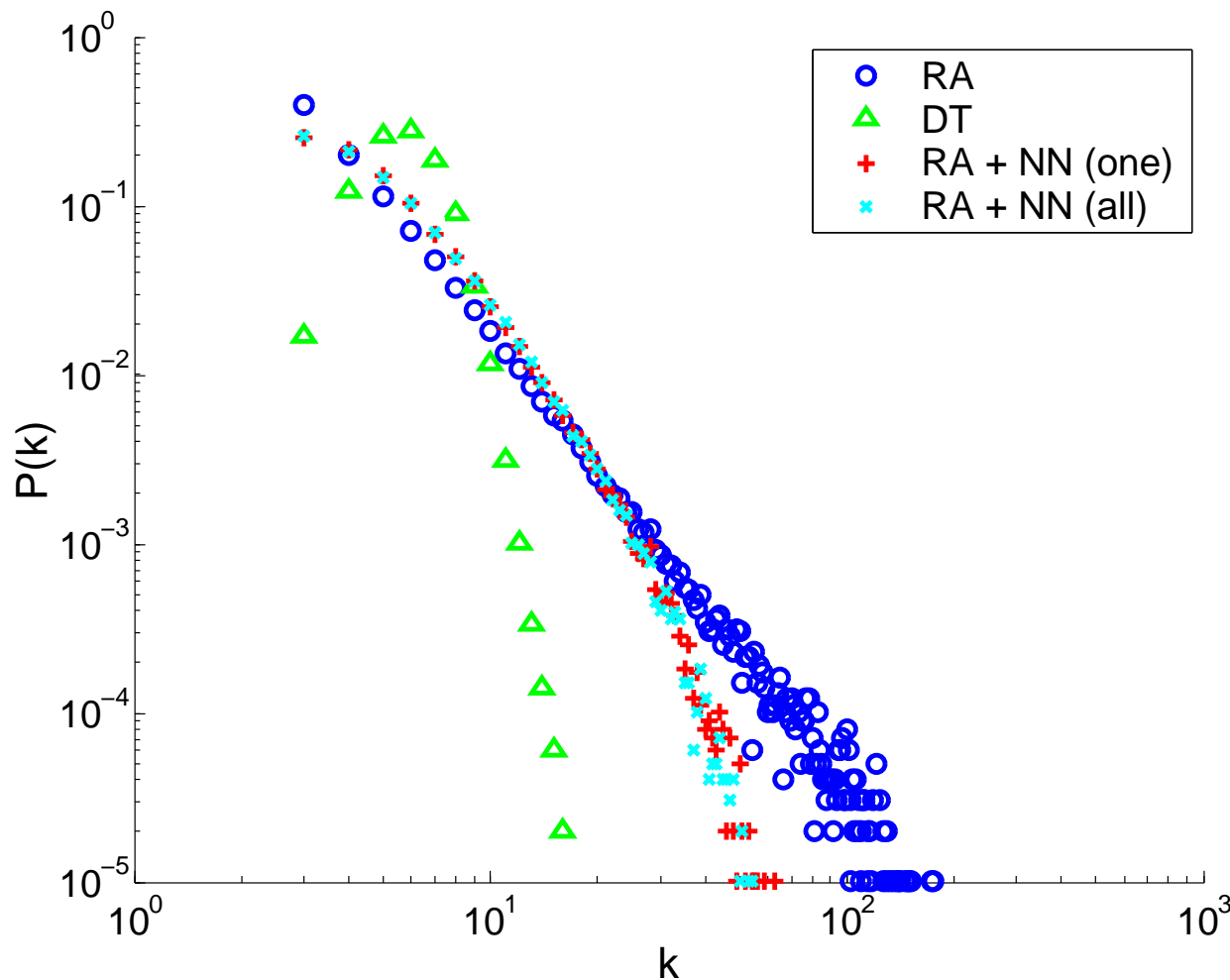


RA+NN(one)

- 4隅と中央におけるハブ的スタブ
- 人口分布のような疎密部分が自然に創出

Y.Hayashi and J.Matsukubo, Physical Review E 73, 066113, 2006.

Degree Distribution

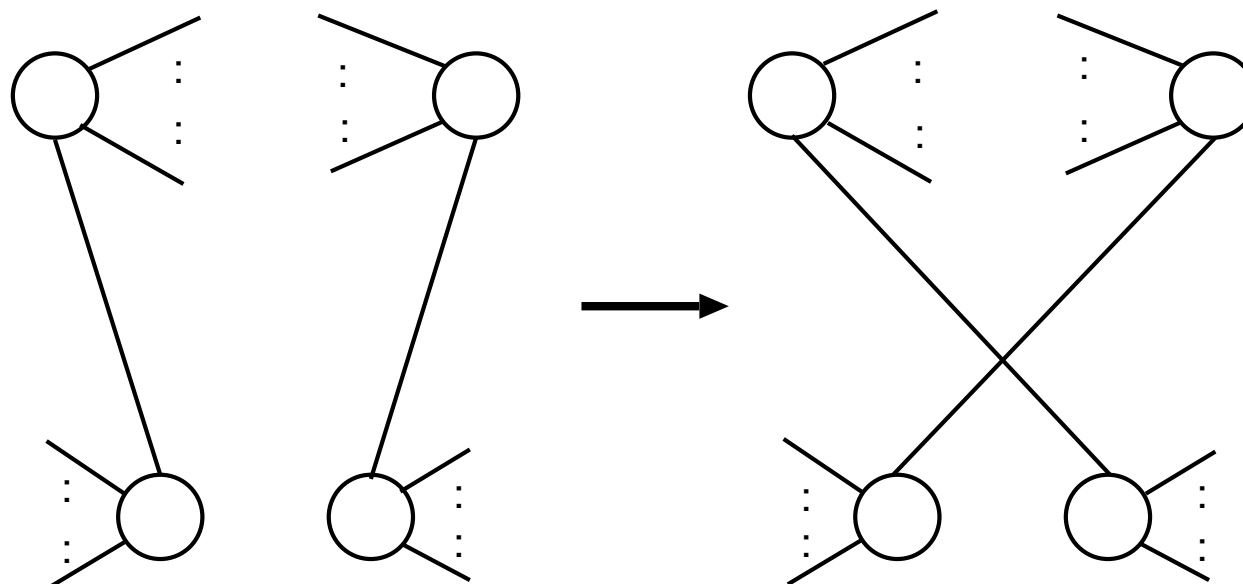


RA: power law, DT: lognormal, DLSF(RA+NN):
power law with exponential cutoff

Randomly Rewired Nets

地理的制約を無くしたネットワークとの比較：

総リンク数や次数分布を保持したまま、ランダムにリンクを張り替える

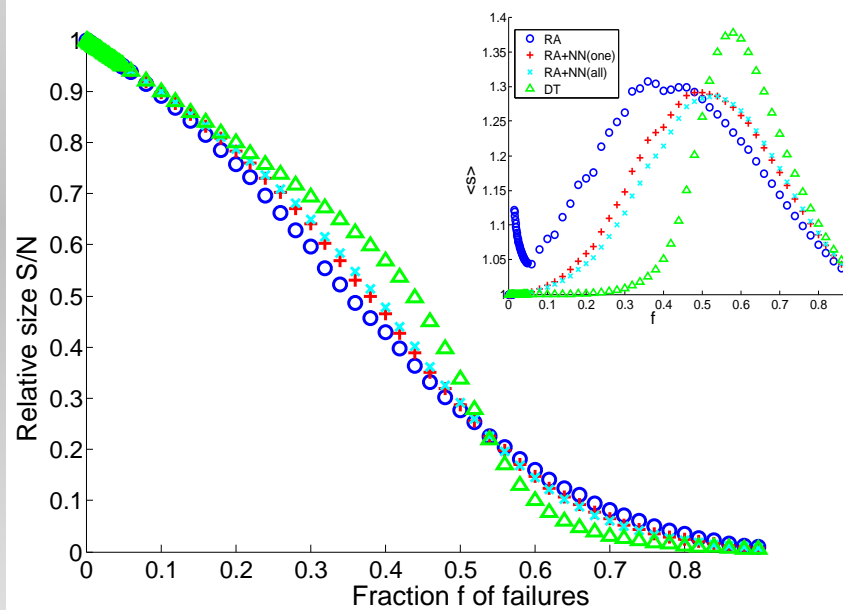


Rewiring a pair of links with the same degree at each node

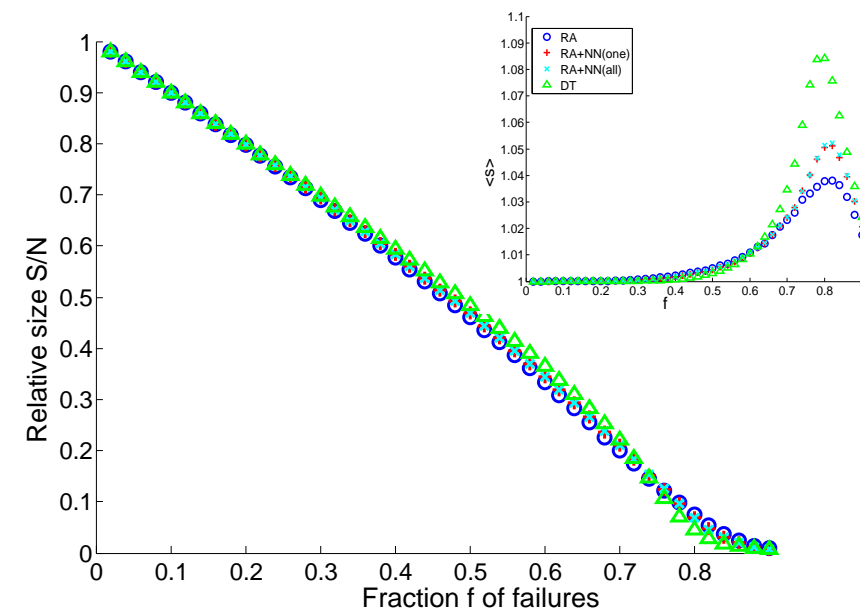
Maslov et al., Physica A 333, 2004

Tolerance to Failures

最大連結成分 GC のサイズ比 S/N
挿入図：平均クラスタサイズ $\langle s \rangle$



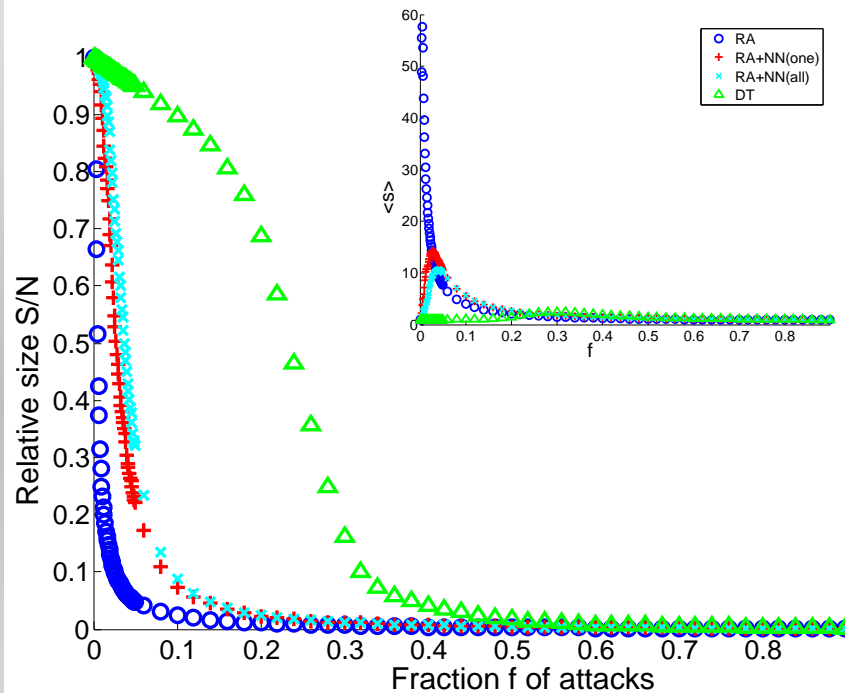
(a) geographical nets



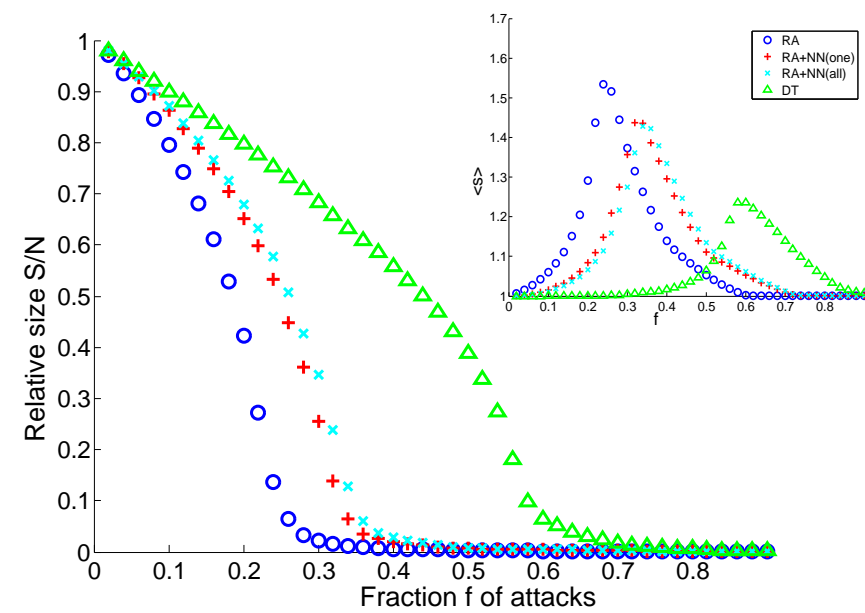
(b) rewired nets

⇒ どちらも頑健 (RA: ○, DT: △, DLSF: +)

Tolerance to Attacks



(a) geographical nets



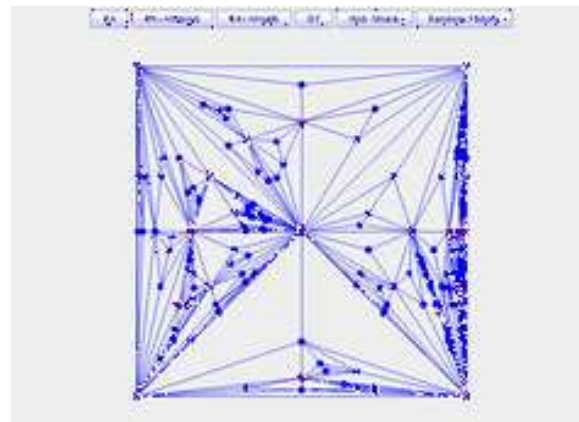
(b) rewired nets

⇒ 地理的制約無は、ハブ攻撃への脆弱性を抑制

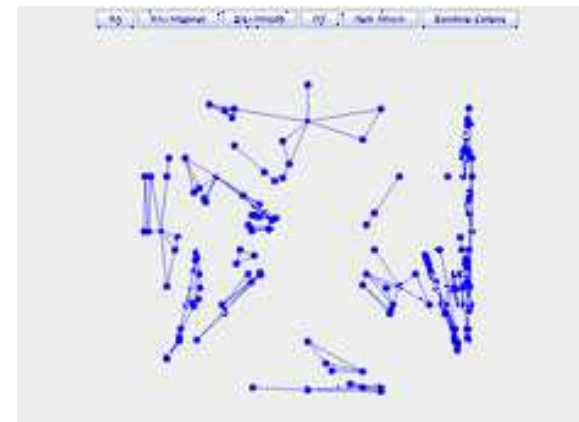
Vulnerability

Initial N=200

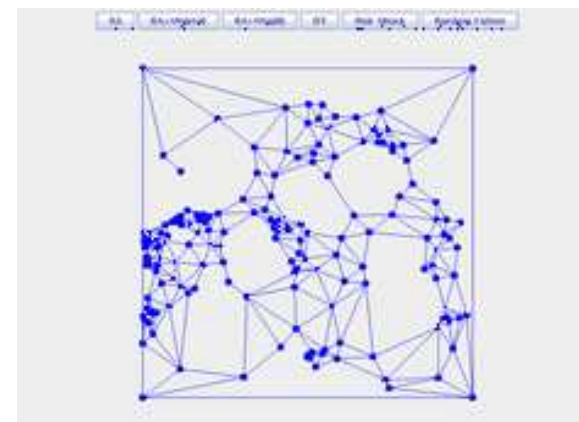
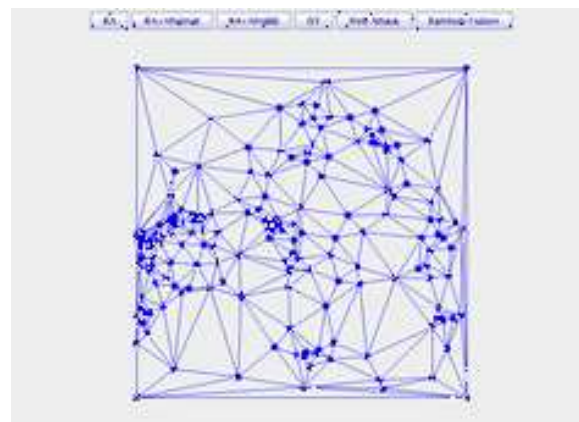
RA



targeted attacks on
16 hubs

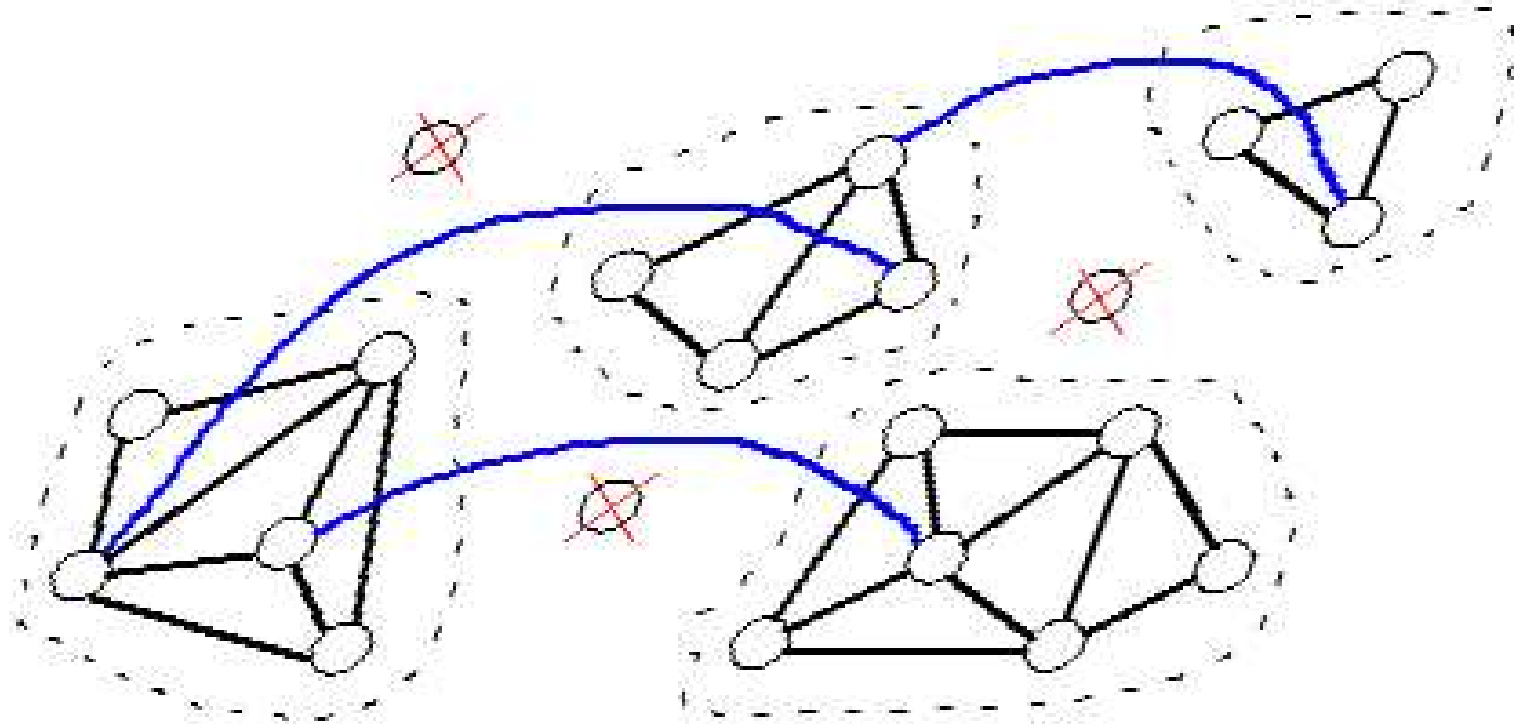


DT



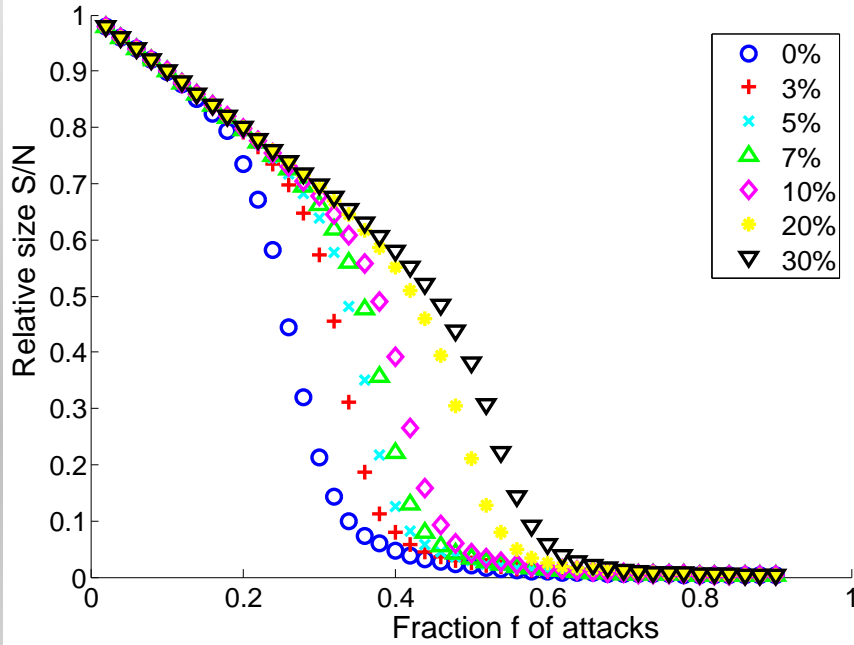
ハブ攻撃による分断化の例：孤立島どうしは不通

6. Backbone of Super-highways

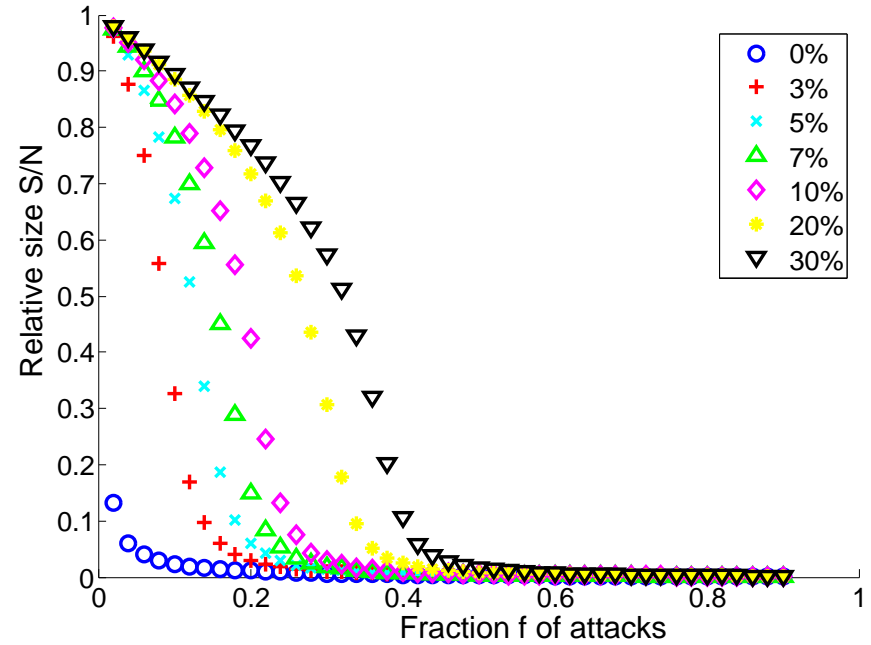


ショートカットとなる高架橋のイメージ

Shortcut Effect



(a) DT



(b) RA

10%程度の追加で崩壊に至るハブ攻撃の臨界値が,
DT: $0.3 \rightarrow 0.5$, RA or DLSF: $0.03 \rightarrow 0.3$ に上がり,
頑健性が改善！

7. Summary

- 現実の多くのネットワークに共通する特徴：
「小さな世界」と「べき乗分布」

7. Summary

- 現実の多くのネットワークに共通する特徴：「小さな世界」と「べき乗分布」
- 単純な原理で自律分散的に構築
強さと弱さ：ランダム故障には頑健, but, ハブ攻撃には脆弱
→ ウィルス等には重点的なハブ免疫が有効!

7. Summary

- 現実の多くのネットワークに共通する特徴：「小さな世界」と「べき乗分布」
- 単純な原理で自律分散的に構築
強さと弱さ：ランダム故障には頑健, but, ハブ攻撃には脆弱
→ ウィルス等には重点的なハブ免疫が有効!
- 許容量の超過連鎖によるカスケード故障に対する局所的なリンク張り替え防御策

7. Summary

- 現実の多くのネットワークに共通する特徴：「小さな世界」と「べき乗分布」
- 単純な原理で自律分散的に構築
強さと弱さ：ランダム故障には頑健, but, ハブ攻撃には脆弱
→ ウィルス等には重点的なハブ免疫が有効!
- 許容量の超過連鎖によるカスケード故障に対する局所的なリンク張り替え防御策
- 地理的制約による結合耐性の弱体化と, ショートカットによる改善策

7. Summary

- 現実の多くのネットワークに共通する特徴：「小さな世界」と「べき乗分布」
- 単純な原理で自律分散的に構築
強さと弱さ：ランダム故障には頑健, but, ハブ攻撃には脆弱
→ ウィルス等には重点的なハブ免疫が有効!
- 許容量の超過連鎖によるカスケード故障に対する局所的なリンク張り替え防御策
- 地理的制約による結合耐性の弱体化と, ショートカットによる改善策

より良いネットワークの設計原理の解明を目指して!

Thanks

ご清聴ありがとうございました!

今年度出版予定

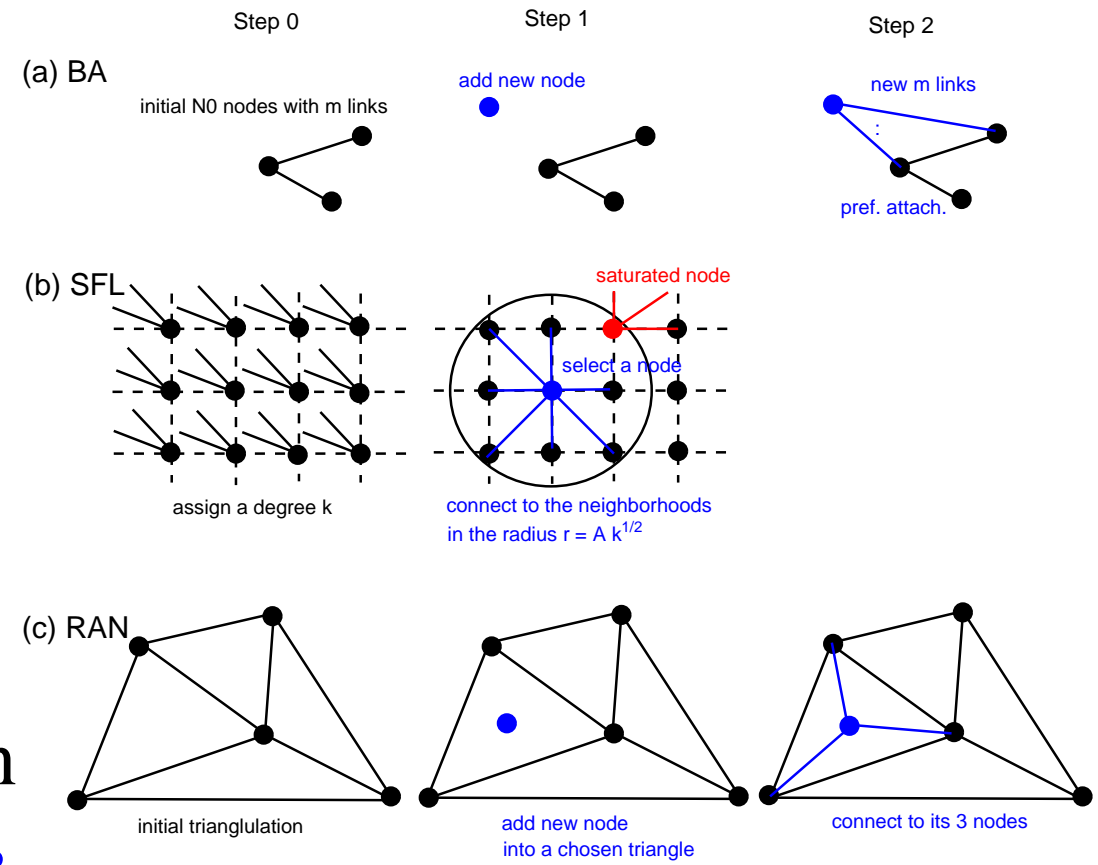
- 林 著, 「仮) 噂は拡がる - ネットワーク科学が解き明かす-」 DOJIN 選書, 化学同人
- 林 編著, 「ネットワーク科学の道具箱」 近代科学社

(社) 情報処理学会 フロンティア研究領域
ネットワーク生態学研究グループ

http://www.jaist.ac.jp/~yhayashi/NetEcoG_top.html

A1. Geographical SF Nets

- Modulated BA:
 $\Pi_i \sim k_i \times l^\alpha$,
rand. position
of node
- SF on lattices:
connect within
 $r = A \times k_i^{1/d}$
- Space-filling:
subdivision
of a region
(heterogeneous
dist. of nodes)



A2. Planarity and Shortness

class	planarity of net	shortness of links
<u>Modulated BA</u> Manna'02, Xulvi-Brunet'02	×	○ with disadvantaged long-range links
<u>SF on lattices</u> ben-Avraham'03, Warren'02	×	△ ∃ long shortcuts from hubs
<u>Space-filling</u> Apollonian nets. Doye'05, Zhou'04	○ by subdivision of a selected region	△ ∃ long-range links in narrow triangles

A3. Efficient Routing

Planar triangulation: reasonable math. abstraction of ad hoc net. (each triangle forms a service region)

Moreover, a **memoryless, no defeat, and competitive** online routing algorithm has been developed for networks on triangulation.

